

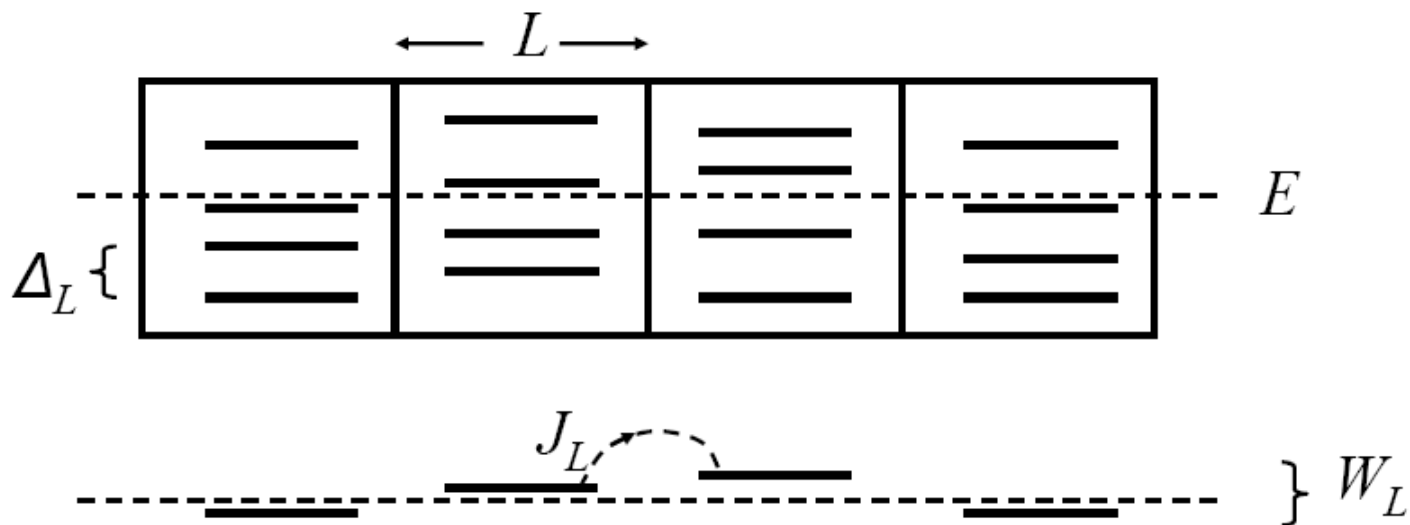
Проводимость конечных
систем
и скейлинг в теории
локализации

И.М.Суслов

Институт физических проблем им.
П.Л.Капицы РАН

Скейлинговая теория локализации

«Банда четырех»: E. Abrahams, P. W. Anderson, D. C. Licciardello, and T. V. Ramakrishnan,
Phys. Rev. Lett. 42, 673 (1979).



Скейлинговый параметр

$$g_L = \frac{J_L}{W_L} = \frac{G_L}{e^2/\hbar}$$

где $G_L = \sigma_L L^{d-2}$ - полная проводимость (кондактанс) блока размера L

$$J_L \sim \hbar/\tau_D \quad \tau_D = L^2/D_L$$

$$W_L \sim \Delta_L \sim 1/\nu_F L^d$$

$$\sigma_L = e^2 \nu_F D_L$$

Поскольку блок размера nL может быть получен из n^d блоков размера L , то

$$g_{nL} = F(g_L, n)$$

что при $n \rightarrow 1$ может быть записано в дифференциальной форме:

$$\frac{d \ln g}{d \ln L} = \beta(g)$$

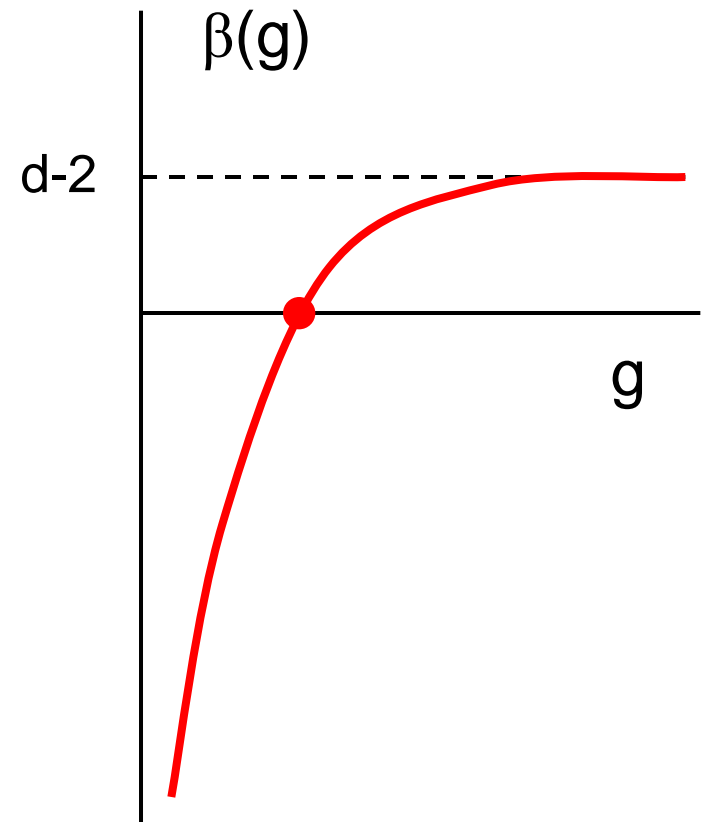
Поскольку очевидно

$$G_L = \sigma_\infty L^{d-2} \quad (\text{металл})$$

$$G_L \sim \exp\{-const \cdot L\} \quad (\text{диэлектрик})$$

то

$$\beta(g) = \begin{cases} d-2, & g \gg 1 \\ \ln g, & g \ll 1 \end{cases}$$



Дискуссия 1980-х

P. W. Anderson, D. J. Thouless, E. Abrahams, D. S. Fisher, Phys. Rev. B **22**, 3519 (1980).

P. W. Anderson, Phys. Rev. B **23**, 4828 (1981).

R. Landauer, IBM J. Res. Dev. **1**, 223 (1957); Phil. Mag. **21**, 863 (1970).

E. N. Economou, C. M. Soukoulis, Phys. Rev. Lett. **46**, 618 (1981).

D. S. Fisher, P. A. Lee, Phys. Rev. B **23**, 6851 (1981).

D. C. Langreth, E. Abrahams, Phys. Rev. B **24**, 2978 (1981).

H. L. Engquist, P. W. Anderson, Phys. Rev. B **24**, 1151 (1981).

D. J. Thouless, Phys. Rev. Lett. **47**, 972 (1981).

R. Landauer, Z. Phys. **68**, 217 (1987).

M. Buttiker, Y. Imry, R. Landauer, Phys. Lett. A **96**, 365 (1983).

M. Buttiker, Phys. Rev. Lett. **57**, 1761 (1986).

M. Buttiker, Y. Imry, R. Landauer, S. Pinhas, Phys. Rev. B **31**, 6207 (1985).

M. Ya. Azbel, J. Phys. C **14**, L225 (1981).

A. D. Stone, A. Szafer, IBM J. Res. Dev. **32**, 384 (1988).

}
переоткрытие
формулы Ландауэра

—
оригинальный вывод

}
вывод из теории
линейного отклика

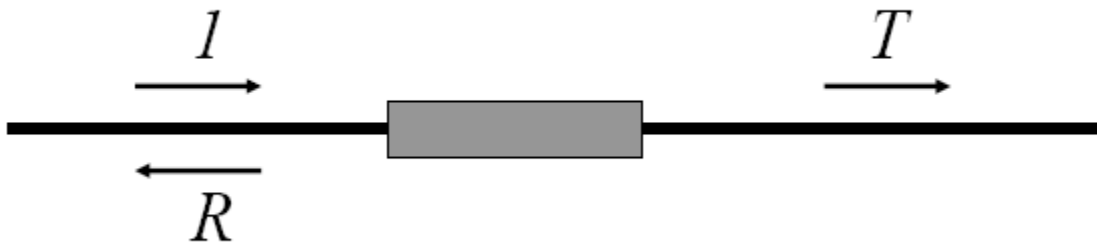
}
общие комментарии

}
многоканальные
обобщения

—
результатирующий
обзор

Простейшая формула Ландауэра

$$G_L = \frac{e^2}{2\pi\hbar} \frac{T}{1-T}$$



Электрический ток

$$j \propto T$$

Разность химпотенциалов

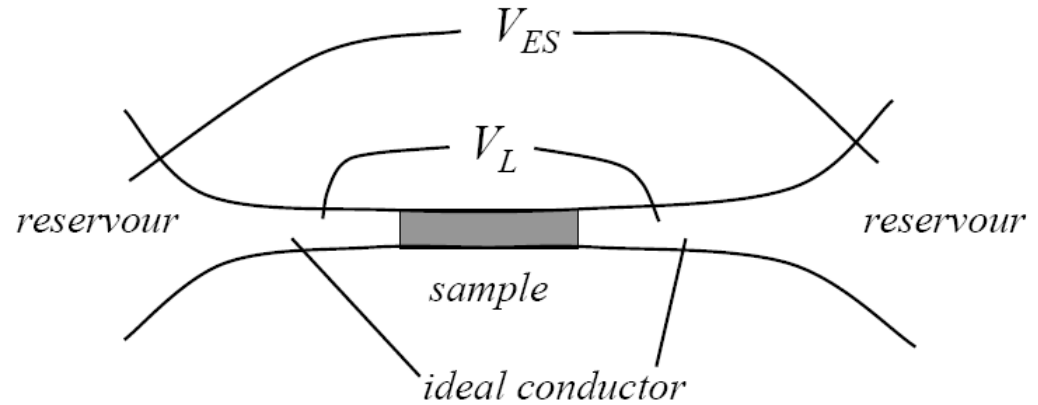
$$\Delta\mu \propto \Delta\rho \propto (1+R)-T = 2(1-T)$$

Итоги дискуссии

Одноканальный
случай:

$$G_L = \frac{e^2}{2\pi\hbar} \frac{T}{1-T}$$

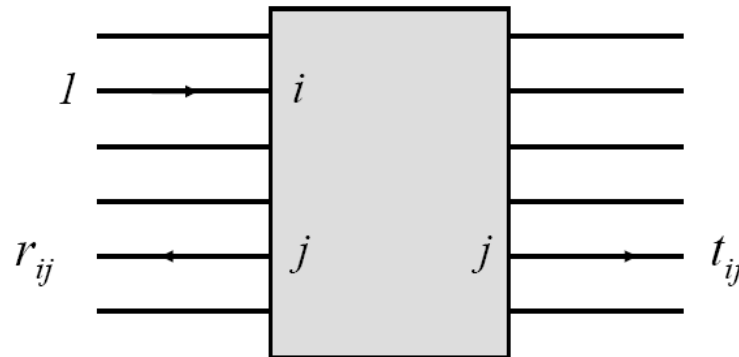
$$G_{ES} = \frac{e^2}{2\pi\hbar} T$$



$$\frac{1}{G_L} = \frac{1}{G_{ES}} - \frac{2\pi\hbar}{e^2}$$

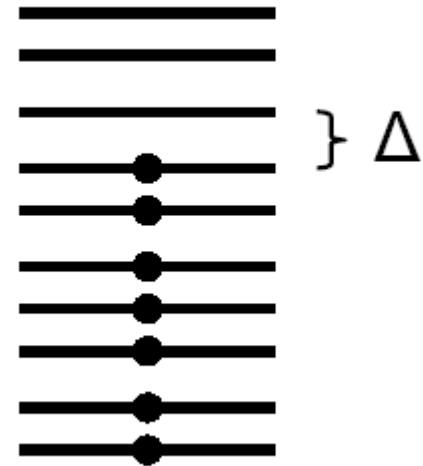
Многоканальный
случай:

$$G_{ES} = \frac{1}{2\pi\hbar} \sum_{ij} |t_{ij}|^2$$



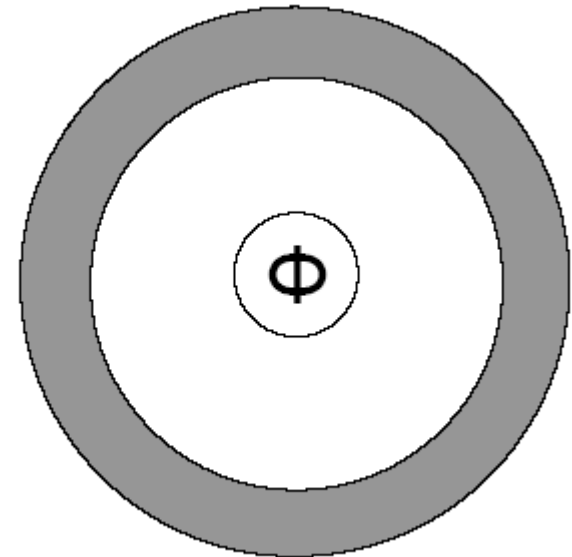
Что такое проводимость конечных систем?

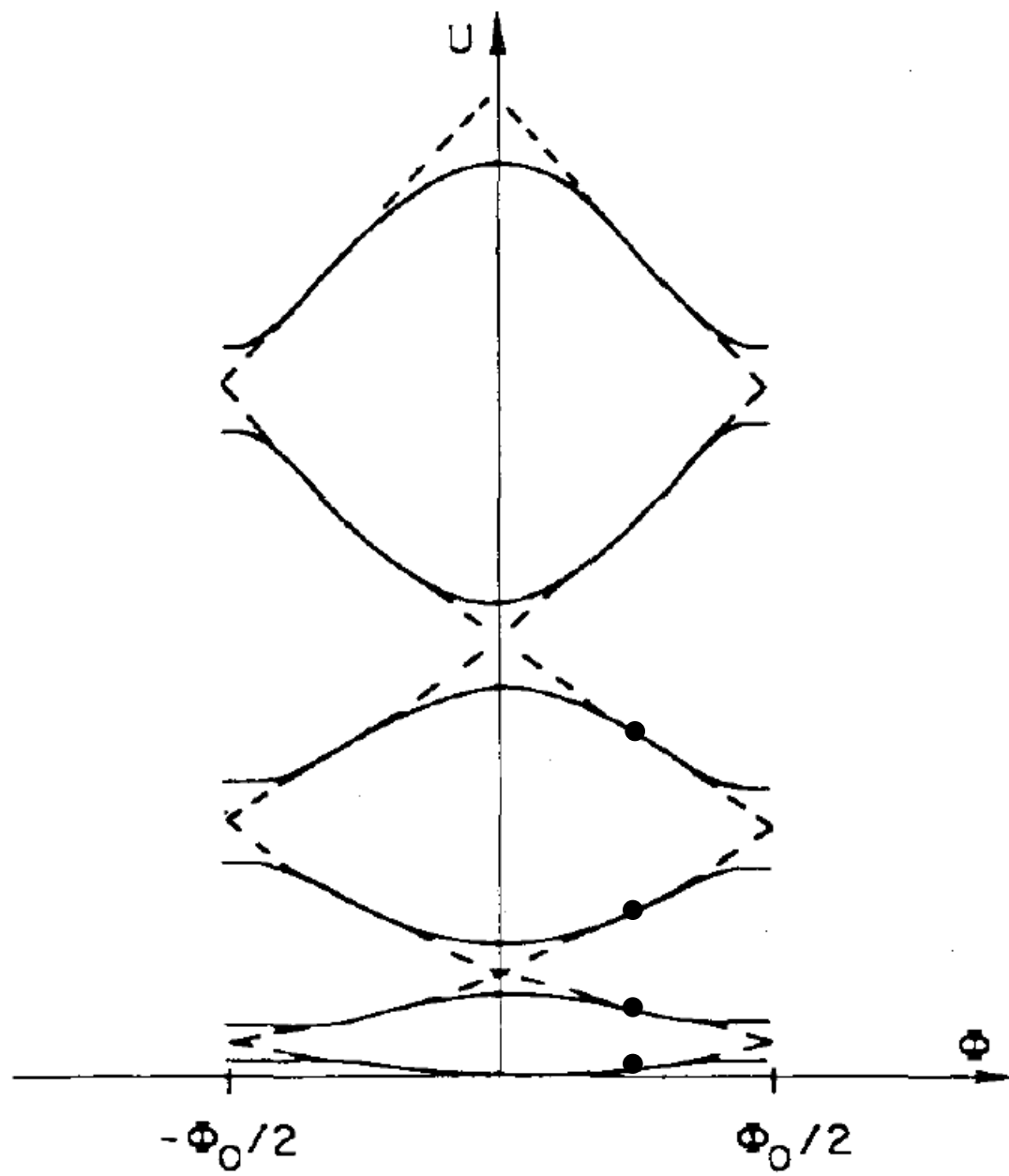
$$\text{Re } G_L(\omega) = 0, \quad \omega \rightarrow 0$$



$$\text{Re } R_L(\omega) = 0, \quad \omega \rightarrow 0$$

$$\frac{\Phi}{\Phi_0} \neq 0, \pm\frac{1}{2}, \pm 1, \pm\frac{3}{2}, \dots$$





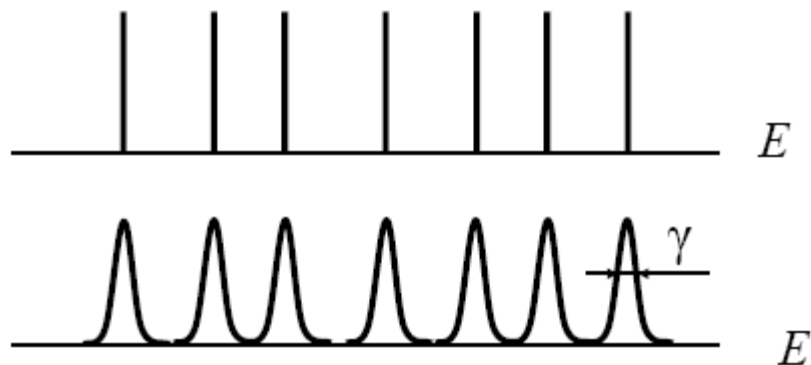
Формулы Кубо: инструкция по эксплуатации

$$\operatorname{Re} \sigma(\omega) = \frac{\pi e^2}{m^2 L^d} \sum_{s,s'} \frac{n(\varepsilon_s) - n(\varepsilon_{s'})}{\omega} |p_{ss'}|^2 \delta(\varepsilon_s - \varepsilon_{s'} + \omega)$$

1. Вводится затухание γ

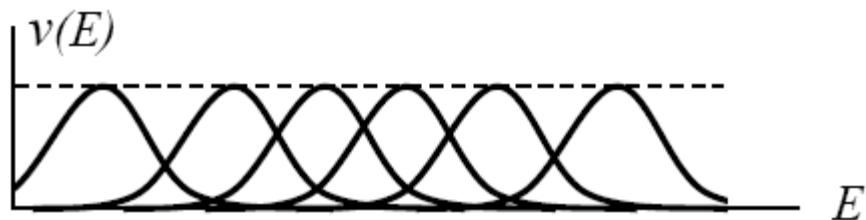
2. Берется термодинамический предел

$$L \rightarrow \infty$$

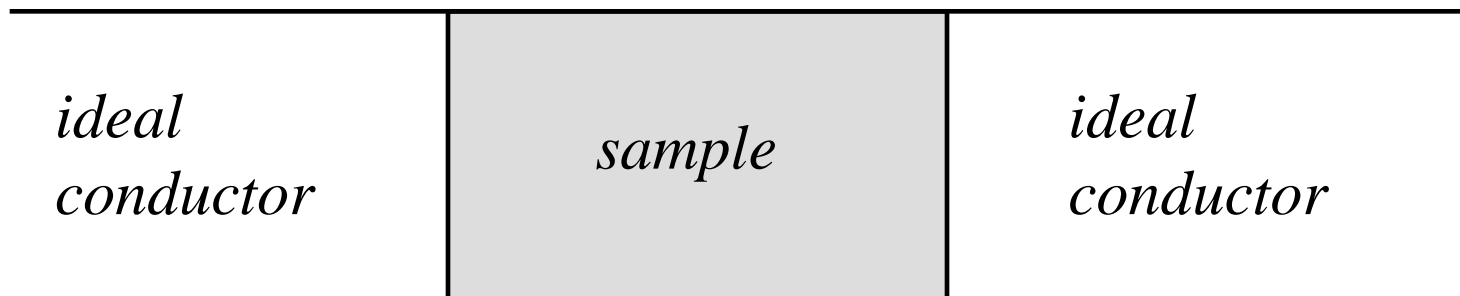


3. Берется предел

$$\gamma \rightarrow 0$$



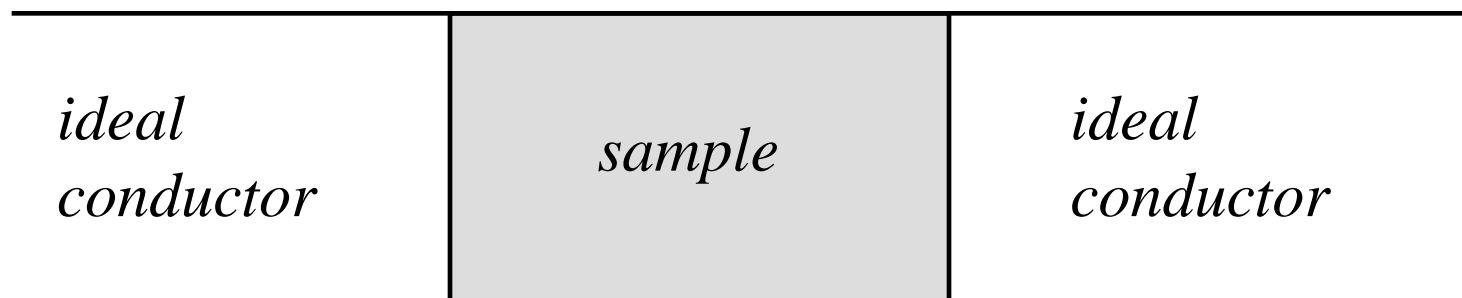
Решение проблемы в контексте формул Ландауэра



Термодинамический предел берется для идеального проводника.

Формулы Ландауэра относятся к составной системе «образец+подводящие провода».

Решение проблемы в контексте формул Ландауэра



При наличии барьера на границе формулы Ландауэра не отражают свойства образца.

Влияние открытости системы

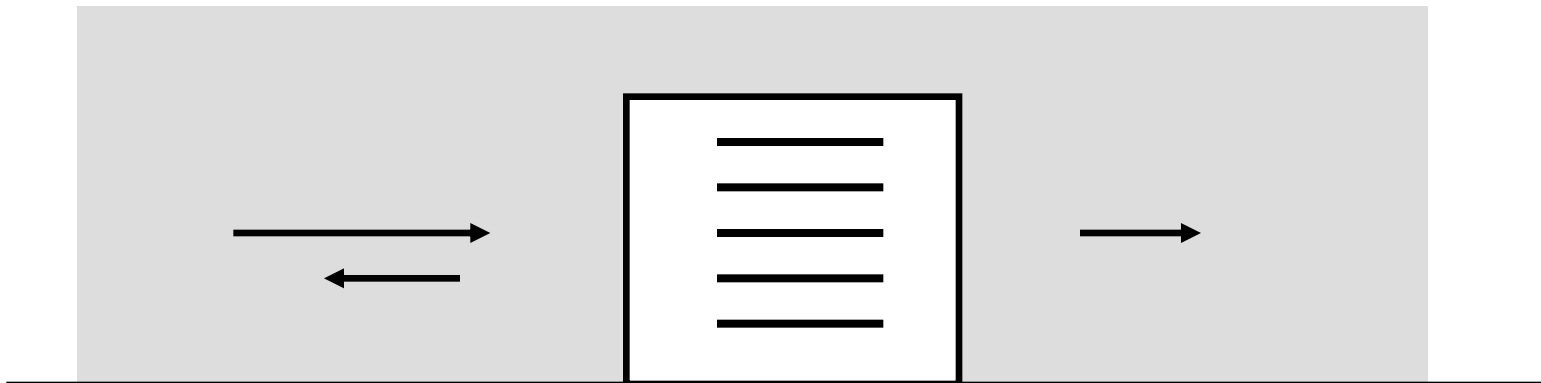
Keywords: модель оболочек

S. Iida, H. A. Weidenmüller, M. R. Zirnbauer, Ann. Phys. (N.Y.) **200**, 219 (1990).

A. Atland, Z. Phys. B **82**, 105 (1991).

M. R. Zirnbauer, Phys. Rev. Lett. **69**, 1584 (1992).

P. W. Brouwer, K. Frahm, Phys. Rev. B **53**, 1490 (1996).



В настоящий момент остаются непроясненными следующие вопросы:

- (а) об исключении контактного сопротивления в многоканальном случае;
- (б) о связи формул Ландауэра с внутренними свойствами системы;
- (в) о связи проводимости конечной системы с коэффициентом диффузии $D(\omega, q)$.

Ответ на эти вопросы дается ниже в рамках двух подходов:

- (1) Самосогласованной теории локализации Вольхардта – Вольфле;
- (2) Квантовомеханического анализа, основанного на модели оболочек.

Оба подхода приводят к одинаковому определению проводимости конечных систем.

Общая схема теории

Конечная система является квази-нульмерной и ее состояния формально локализованы

$$D(\omega, 0) = (-i\omega)\xi_{0D}^2$$

причем для корреляционного радиуса справедливо скейлинговое соотношение

$$\frac{\xi_{0D}}{L} = F\left(\frac{L}{\xi}\right)$$

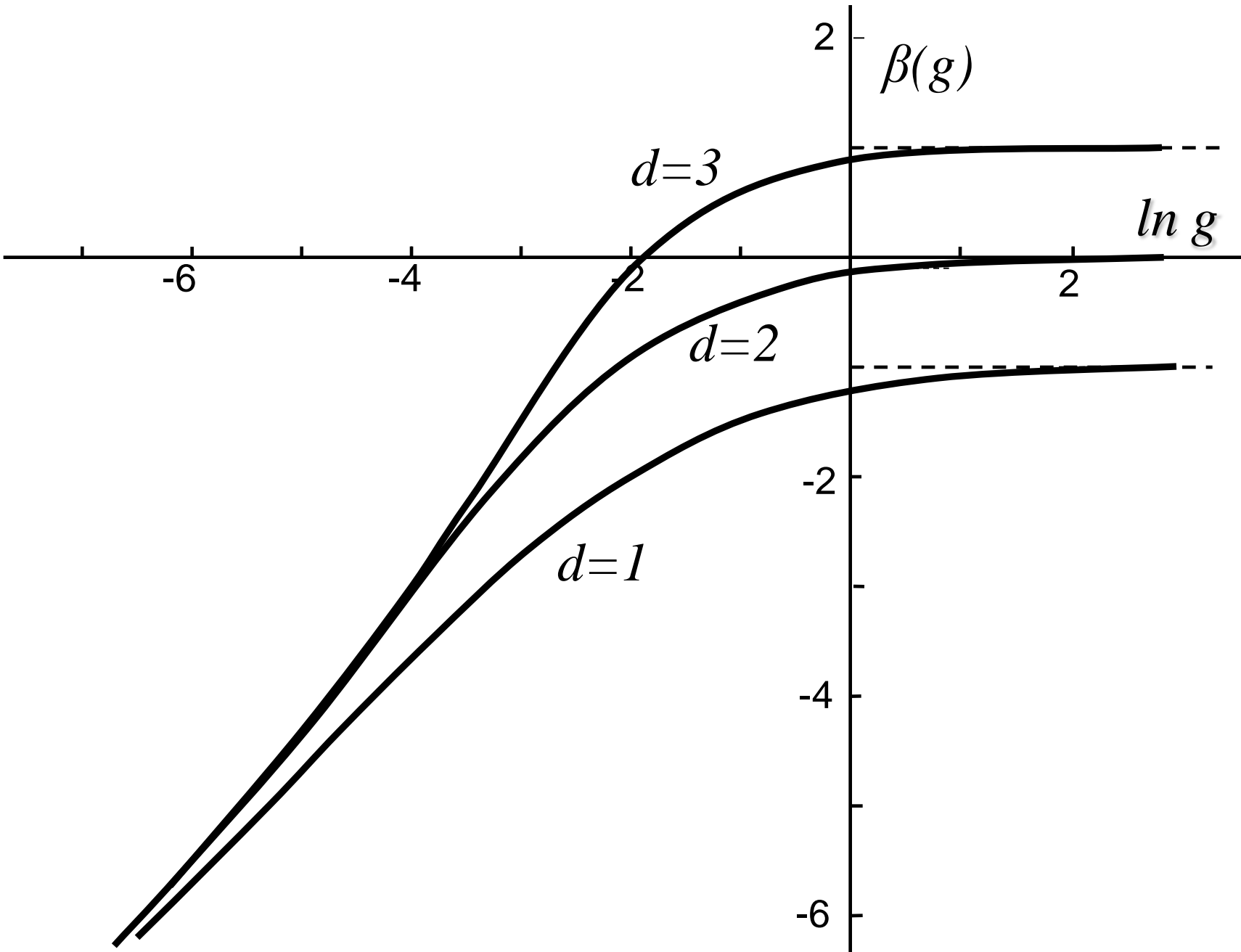
В открытой системе появляется конечная проводимость

$$g_L = F_1\left(\frac{\xi_{0D}}{L}\right)$$

Получить g как функцию L/ξ можно также из уравнения Гелл-Манна – Лоу

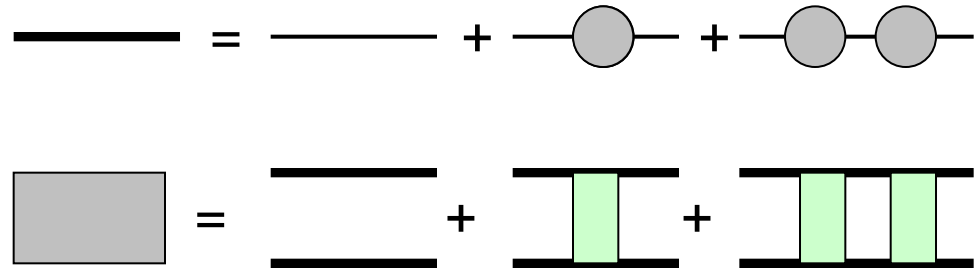
$$\frac{d \ln g}{d \ln(L/\xi)} = \beta(g)$$

а знание F и F_1 эквивалентно знанию $\beta(g)$.



Теория Вольхардта-Вольфле

Основана на существовании
диффузионного полюса
в неприводимой
четырёххвостке



$$U_{\mathbf{k}\mathbf{k}'}(\mathbf{q}) = U_{\mathbf{k}\mathbf{k}'}^{reg}(\mathbf{q}) + \frac{F(\mathbf{k}, \mathbf{k}', \mathbf{q})}{-i\omega + D(\omega, \mathbf{k} + \mathbf{k}')(\mathbf{k} + \mathbf{k}')^2}$$

играющей роль вероятности перехода $W_{\mathbf{k}\mathbf{k}'}$ в квантовом кинетическом уравнении.

Аппроксимация типа τ - приближения $D \sim \langle U \rangle^{-1}$ дает уравнение самосогласования

$$D \sim \left[U_0 + F_0 \int \frac{d^d q}{-i\omega + D(\omega, q)q^2} \right]^{-1}$$

Уравнение самосогласования

$$\frac{E^2}{W^2} = \frac{D(\omega)}{D_{\min}} + \Lambda^{2-d} \int_0^\Lambda \frac{d^d q}{(2\pi)^d} \frac{1}{[-i\omega/D(\omega)] + q^2}$$

Базовый интеграл

$$I(m) = \int_0^\Lambda \frac{d^d q}{(2\pi)^d} \frac{1}{m^2 + q^2}$$

конечен при $m=0$ только для $d>2$.

Металлическая фаза: $D=\text{const}$ при $\omega \rightarrow 0$

$$D = D_{\min} \left(\frac{E^2}{W^2} - I(0) \Lambda^{2-d} \right) = D_{\min} \tau$$

т.е. $s=1$.

Уравнение самосогласования

$$\frac{E^2}{W^2} = \frac{D(\omega)}{D_{min}} + \Lambda^{2-d} \int_0^\Lambda \frac{d^d q}{(2\pi)^d} \frac{1}{[-i\omega/D(\omega)] + q^2}$$

Диэлектрическая фаза: $D = -i\omega \xi^2$ при $\omega \rightarrow 0$ ($m = \xi^{-1}$)

$$I(m) = \int_{|q| < \Lambda} \frac{d^d q}{(2\pi)^d} \frac{1}{m^2 + q^2} = \begin{cases} c_d/m^{2-d}, & d < 2 \\ c_2 \ln(\Lambda/m), & d = 2 \\ I(0) - c_d m^{d-2}, & 2 < d < 4 \\ I(0) - c_4 m^2 \ln(\Lambda/m), & d = 4 \\ I(0) - c_d m^2 \Lambda^{d-4}, & d > 4 \end{cases}$$

$$\xi \sim a \frac{E^2}{W^2}, \quad d = 1$$

$$\xi \sim a \exp\left(2\pi \frac{E^2}{W^2}\right), \quad d = 2$$

$$\xi \sim a |\tau|^{-\nu}, \quad d > 2$$

$$\nu = \begin{cases} 1/(d-2), & 2 < d < 4 \\ 1/2, & d > 4 \end{cases}$$

1. Модификация соотношения Эйнштейна

$$\sigma_L \sim e^2 \nu_F D_L \exp(-L/\xi)$$

Для получения этого результата рассматривается изменение электронной плотности $\rho(x)$, индуцированное скалярным потенциалом $\varphi(x)$,

$$\rho(x) = \int_{-L/2}^{L/2} \alpha(x-x') \varphi(x') dx', \quad (18)$$

где $\alpha(x-x')$ — поляризуемость

$$\alpha(x-x') = -e^2 \nu_F \left[\delta(x-x') - (2\xi)^{-1} \exp\{-|x-x'|/\xi\} \right]. \quad (19)$$

Для замкнутой системы поток электронов через границы отсутствует, поэтому диффузионный ток $j_{diff}(x) = -D_L d\rho(x)/dx$ на краях системы $x = \pm L/2$ равен электрическому току $j_e(x)$ с обратным знаком; это определяет σ_L . Производя такие вычисления для

$$\varphi(x) = \varphi_0 - Ex, \quad (20)$$

имеем

$$\rho(x) = e^2 \nu_F \left[E(L/2 + \xi) e^{-L/2\xi} \sinh(x/\xi) - \varphi_0 e^{-L/2\xi} \cosh(x/\xi) \right], \quad (21)$$

так что

$$j_e(\pm L/2) = e^2 \nu_F D_L \left[\frac{\mp \varphi_0 + E(L/2 + \xi)}{2\xi} + \frac{\pm \varphi_0 + E(L/2 + \xi)}{2\xi} e^{-L/\xi} \right] \quad (22)$$

При выборе $\varphi_0 = \pm E(L/2 + \xi)$ имеем

$$j_e(\pm L/2) = e^2 \nu_F D_L (1 + L/2\xi) e^{-L/\xi} \cdot E \quad (23)$$

2. Модификация уравнения самосогласования

Для конечной системы в уравнении самосогласования вводится обрезание на нижнем пределе

$$\frac{E^2}{W^2} = \frac{D_L}{D_{min}} + \Lambda^{2-d} \int_{\sim 1/L}^{\Lambda} \frac{d^d q}{(2\pi)^d} \frac{1}{m^2 + q^2}$$

Вычитая такое же уравнение с $L=\infty$, имеем

$$D_L = D_{\infty} + D_{min} \Lambda^{2-d} \int_0^{\sim 1/L} \frac{d^d q}{(2\pi)^d} \frac{1}{m^2 + q^2}, \quad m = \xi^{-1}$$

что дает сингулярность в критической точке.

Правильное уравнение имеет вид

$$D_L = D_{min} \Lambda^{2-d} \cdot \frac{1}{L^d} \sum_q \frac{e^{iq \cdot x}}{m^2 + q^2} \Big|_{|x| \sim L}, \quad m = (\xi_{0D})^{-1}$$

и обеспечивает экспоненту в локализованной фазе.

Корреляционный радиус квази-нульмерной системы

Для описания квази-нульмерных систем базовый интеграл достаточно представить в виде

$$I(m) = \frac{1}{L^d} \sum_{|\mathbf{q}| < \Lambda} \frac{1}{m^2 + q^2}, \quad m^{-1} = \xi_{0D}$$

Член с $\mathbf{q} = 0$ расходится при $m \rightarrow 0$ и система всегда оказывается в локализованной фазе.

Разбиение интеграла

$$\begin{aligned} I(m) &= \frac{1}{L^d} \frac{1}{m^2} + \frac{1}{L^d} \sum_{\substack{\mathbf{q} \neq 0 \\ |\mathbf{q}| < \Lambda}} \left(\frac{1}{m^2 + q^2} - \frac{1}{q^2} \right) + \frac{1}{L^d} \sum_{\substack{\mathbf{q} \neq 0 \\ |\mathbf{q}| < \Lambda}} \frac{1}{q^2} \equiv \\ &\equiv I_1(m) + I_2(m) + I_3(0) \end{aligned}$$

Преобразование интегралов:

$$I_1(m) = \frac{1}{L^{d-2}} \frac{1}{(mL)^2}$$

$$I_2(m) = \frac{1}{L^{d-2}} H_0(mL) + O\left(m^2 \Lambda^{d-4}\right)$$

$$H_0(z) = \frac{1}{(2\pi)^2} \sum_{s \neq 0} \left(\frac{1}{(z/2\pi)^2 + |s|^2} - \frac{1}{|s|^2} \right)$$

$$I_3(0) = \Lambda^{d-2} \left\{ b_0 + b_1 \left(\frac{a}{L} \right)^{d-2} + b_2 \left(\frac{a}{L} \right) + b_3 \left(\frac{a}{L} \right)^2 + \dots \right\}$$

что надо подставить в уравнение самосогласования

$$\Lambda^{d-2} \frac{E^2}{W^2} = I(m)$$

Уравнение самосогласования

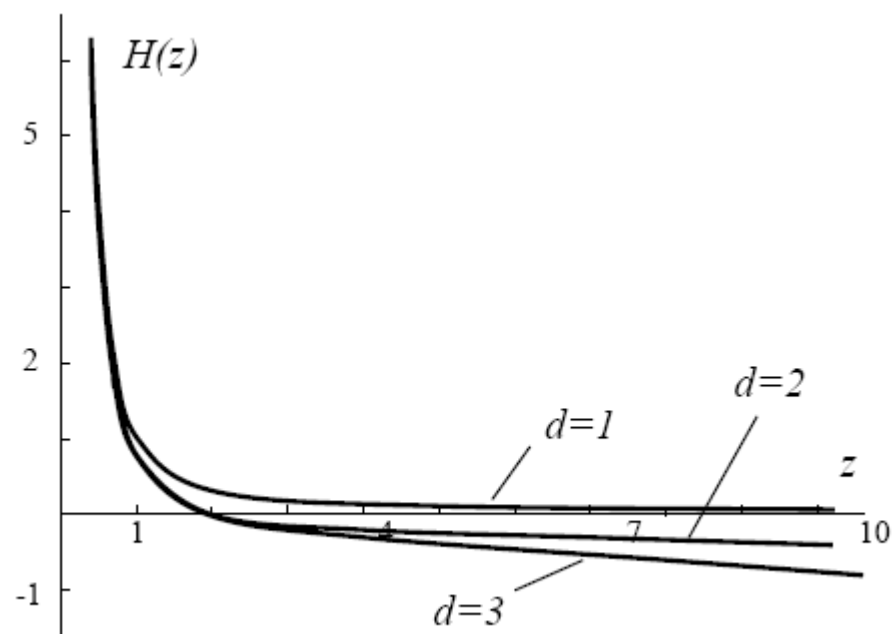
$$\left(\frac{L}{a}\right)^{d-2} \left[\tau + O(m^2 a^2) + O\left(\frac{a}{L}\right) \right] = b_1 + H_0(mL) + \frac{1}{(mL)^2}$$

в пределе $a \rightarrow 0$ дает скейлинговые соотношения

$$\pm c_d \left(\frac{L}{\xi}\right)^{d-2} = H\left(\frac{L}{\xi_{0D}}\right), \quad d > 2$$

$$\frac{1}{2\pi} \ln\left(\frac{\xi}{L}\right) = H\left(\frac{L}{\xi_{0D}}\right), \quad d = 2$$

$$c_d \left(\frac{L}{\xi}\right)^{d-2} = H\left(\frac{L}{\xi_{0D}}\right), \quad d < 2$$

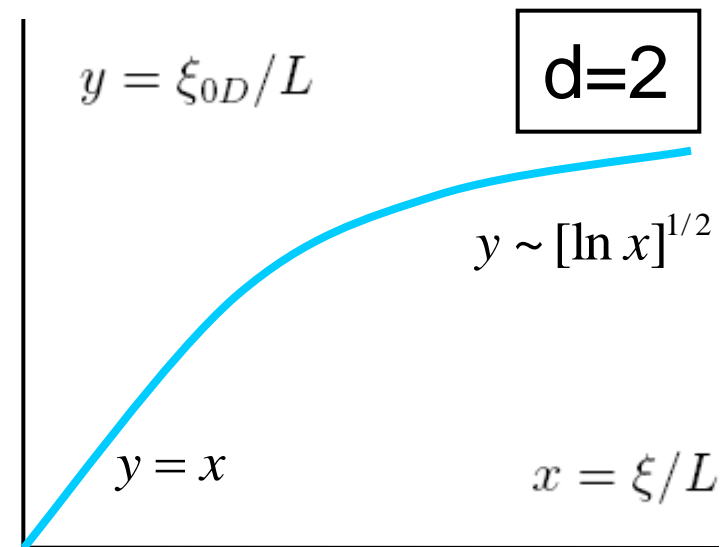
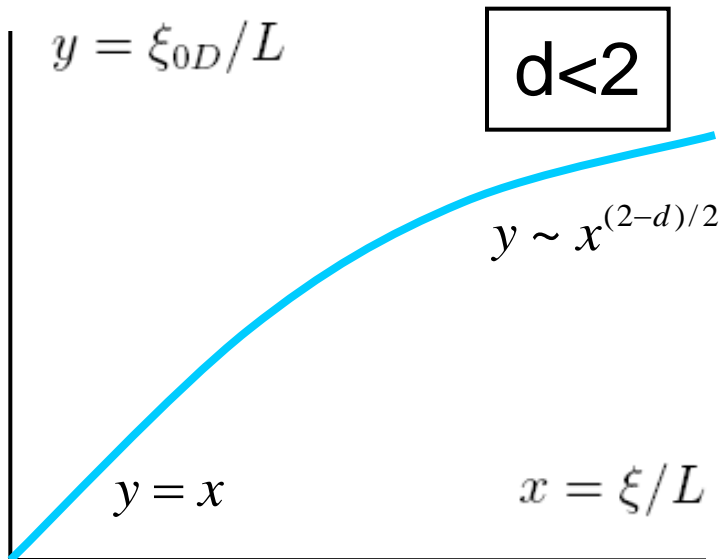
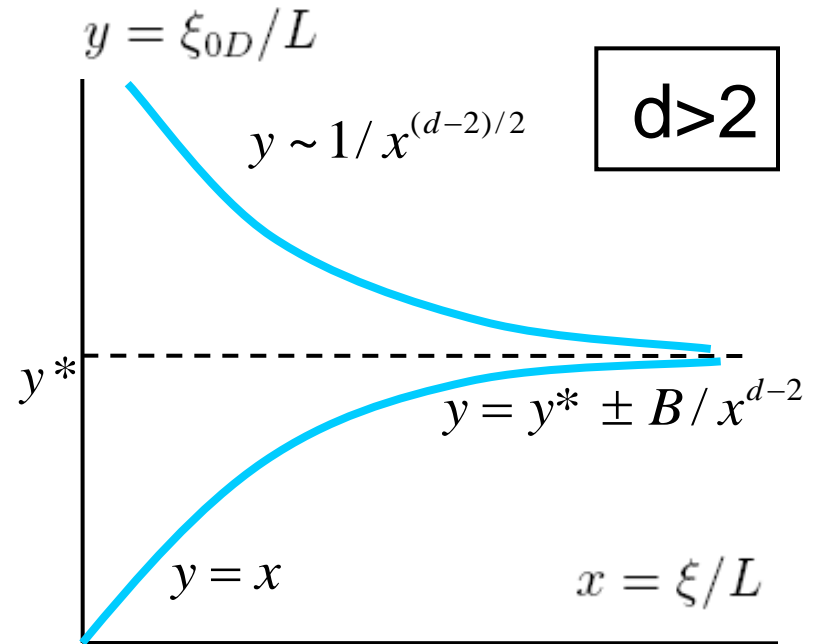


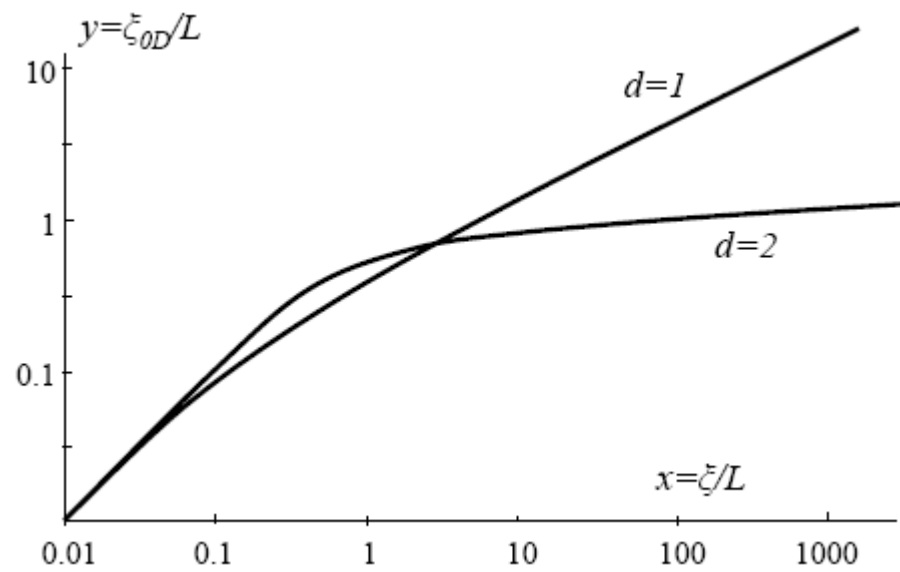
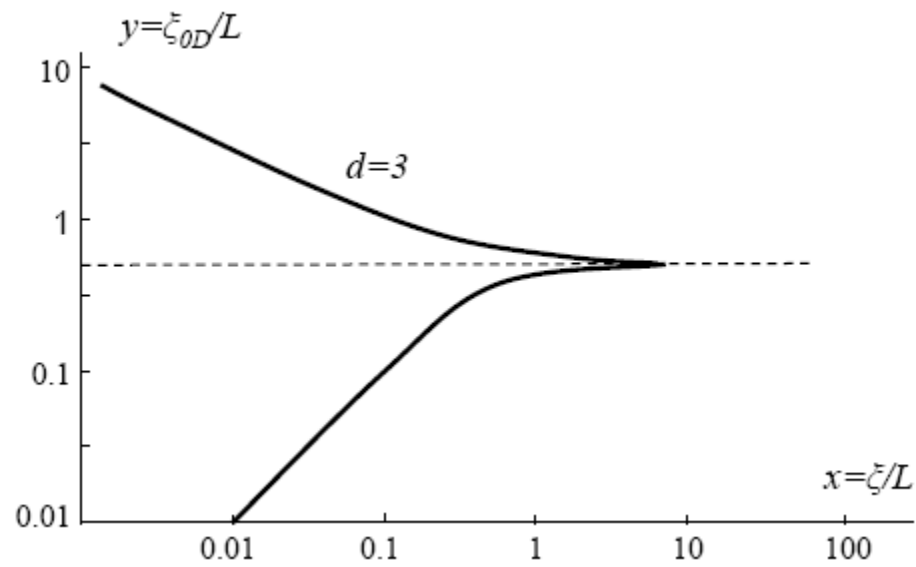
$$H(z) = b_1 + \frac{1}{4\pi^2} \sum_{s \neq 0} \left(\frac{1}{|s|^2 + (z/2\pi)^2} - \frac{1}{|s|^2} \right) + \frac{1}{z^2}$$

Вводя переменные

$$y = \xi_{0D}/L, \quad x = \xi/L,$$

имеем для зависимости $y(x)$





Переход к открытым системам

Различие открытых и закрытых систем

$$\frac{\partial f}{\partial t} - D \nabla^2 f = 0$$

В конечной системе оператор Лапласа имеет нетривиальный спектр

$$-\nabla^2 e_s(x) = \lambda_s e_s(x)$$

Закрытые системы:

$$\lambda_0 = 0, \quad e_0(x) = \text{const}$$

Открытые системы:

$$\lambda_0 > 0, \quad e_0(x) \neq \text{const}$$

Переход к открытым системам

Эволюция начального распределения $f_0(x)$:

$$f(x, t) = \sum_s A_s e^{-D\lambda_s t} e_s(x), \quad A_s = (f_0, e_s)$$

Предельное распределение в закрытой системе

$$f(x, t)|_{t \rightarrow \infty} = \text{const} = \langle f_0 \rangle$$

т.е. число частиц сохраняется.

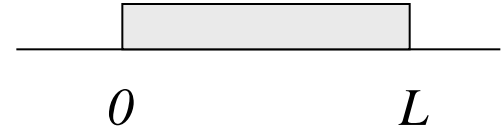
В открытой системе

$$f(x, t)|_{t \rightarrow \infty} = A_0 e_0(x) e^{-D\lambda_0 t}$$

частицы уходят через границы.

Переход к открытым системам

Примеры:



Для бловских граничных условий

$$f(L) = f(0)e^{i\varphi}$$

система закрыта при $\varphi=0$;

открыта при $\varphi \neq 0$;

предельно открыта при $\varphi=\pi$

Для реалистических граничных условий

$$f'_x(0) = \kappa f(0), \quad f'_x(L) = -\kappa f(L)$$

система закрыта при $\kappa=0$;

открыта при $\kappa \neq 0$;

предельно открыта при $\kappa=\infty$

Затухание состояний и конечность коэффициента диффузии

Коррелятор плотности

$$\mathcal{K}_\omega(\mathbf{r} - \mathbf{r}') = \langle G_{E+\omega}^R(\mathbf{r}, \mathbf{r}') G_E^A(\mathbf{r}', \mathbf{r}) \rangle$$

выражается через спектральную плотность ρ

$$\mathcal{K}_\omega(\mathbf{r} - \mathbf{r}') = \int_{-\infty}^{\infty} d\epsilon \int_{-\infty}^{\infty} d\omega' \frac{1}{E + \omega - \epsilon + i0} \frac{1}{E - \omega' - \epsilon - i0} \rho_{\epsilon, \epsilon + \omega'}(\mathbf{r} - \mathbf{r}')$$

связанную с поляризуемостью α

$$\rho_{\epsilon, \epsilon + \omega}(q) = -\frac{\text{Im } \alpha_\epsilon(\omega, q)}{\pi e^2 \omega}, \quad \alpha(\omega, q) = -e^2 \nu_F \frac{D(\omega, q) q^2}{-i\omega + D(\omega, q) q^2}$$

откуда

$$\mathcal{K}_\omega(q) = \frac{2\pi \nu_F}{-i\omega + D(\omega, q) q^2}$$

Замена

$$\pm i0 \rightarrow \pm i\gamma$$

в определениях функций Грина

$$G^{R,A}(x, x') = \sum_s \frac{\psi_s(x)\psi_s^*(x')}{E - \varepsilon_s \pm i0}$$

дает замену

$$-i\omega \rightarrow -i\omega + 2\gamma$$

в корреляторе плотности. В локализованной фазе остается инвариантной комбинация

$$\frac{-i\omega}{D(\omega, q)} = \frac{-i\omega}{(-i\omega)\xi^2} \rightarrow \frac{-i\omega + 2\gamma}{(-i\omega + 2\gamma)\xi^2}$$

При $\omega=0$ возникает конечный коэффициент диффузии $D=2\gamma\xi^2$

Модификация уравнения самосогласования

Исходное уравнение для бесконечной системы

$$\frac{E^2}{W^2} = \frac{D(\omega)}{D_{min}} + \Lambda^{2-d} \int_0^\Lambda \frac{d^d q}{(2\pi)^d} \frac{1}{[-i\omega/D(\omega)] + q^2}$$

в закрытой конечной имеет вид

$$\frac{E^2}{W^2} = \Lambda^{2-d} \cdot \frac{1}{L^d} \sum_q^{(c)} \frac{1}{m^2 + q^2}, \quad m^{-1} = \xi_{0D}$$

тогда как в открытой

$$\frac{E^2}{W^2} = \frac{D_L}{D_{min}} + \Lambda^{2-d} \cdot \frac{1}{L^d} \sum_q^{(o)} \frac{1}{m^2 + q^2}$$

Беря разность

$$D_L = D_{min} \Lambda^{2-d} \cdot \frac{1}{L^d} \left(\sum_q^{(c)} \frac{1}{m^2 + q^2} - \sum_q^{(o)} \frac{1}{m^2 + q^2} \right)$$

Используя бловские граничные условия

$$f(L) = f(0)e^{i\varphi}$$

и принимая в качестве эталонных периодические ($\varphi=0$) и антипериодические ($\varphi=\pi$), имеем «определение по Таулесу»

$$g_L = L^{d-2} \cdot \frac{1}{L^d} \left(\sum_{\mathbf{q}}^{(\varphi=0)} \frac{1}{m^2 + q^2} - \sum_{\mathbf{q}}^{(\varphi=\pi)} \frac{1}{m^2 + q^2} \right)$$

которое обеспечивает экспоненту в локализованной фазе

$$g_L = L^{d-2} \cdot \frac{4\sqrt{\pi}}{(4\pi)^{d/2}} m^{d-2} \left(\frac{mL}{2} \right)^{(1-d)/2} e^{-mL}$$

Происхождение экспоненты

При оценке интегралов от быстро осциллирующих функций

$$f_\omega = \int_{-\infty}^{\infty} f(x) e^{i\omega x} dx$$

существенны аналитические свойства $f(x)$. Если $f(x)$ имеет скачок n -й производной, то

$$f_\omega \sim \omega^{-n-1};$$

Если $f(x)$ регулярна на действительной оси, то

$$f_\omega \sim \exp(-const \cdot \omega)$$

Аналогичная ситуация – при оценке интеграла дискретной суммой

$$\int_{-\infty}^{\infty} f(x) dx \approx h \sum_{s=-\infty}^{\infty} f(x_s) |_{x_s=hs}$$

Используя формулу суммирования Пуассона

$$\sum_{s=-\infty}^{\infty} \delta(x - s) = \sum_{k=-\infty}^{\infty} e^{i2\pi kx}$$

имеем

$$h \sum_{s=-\infty}^{\infty} f(x_s)|_{x_s=hs} = \sum_{k=-\infty}^{\infty} \int_{-\infty}^{\infty} f(x) e^{i2\pi kx/h} dx$$

Член с $k=0$ соответствует континуальному приближению.
Эффект дискретности имеет порядок

$$\exp(-const/h)$$

В нашем случае $h \sim 1/L$, что дает

$$g_L \sim \exp\{-const \cdot L\}$$

Скейлинговое соотношение для g_L

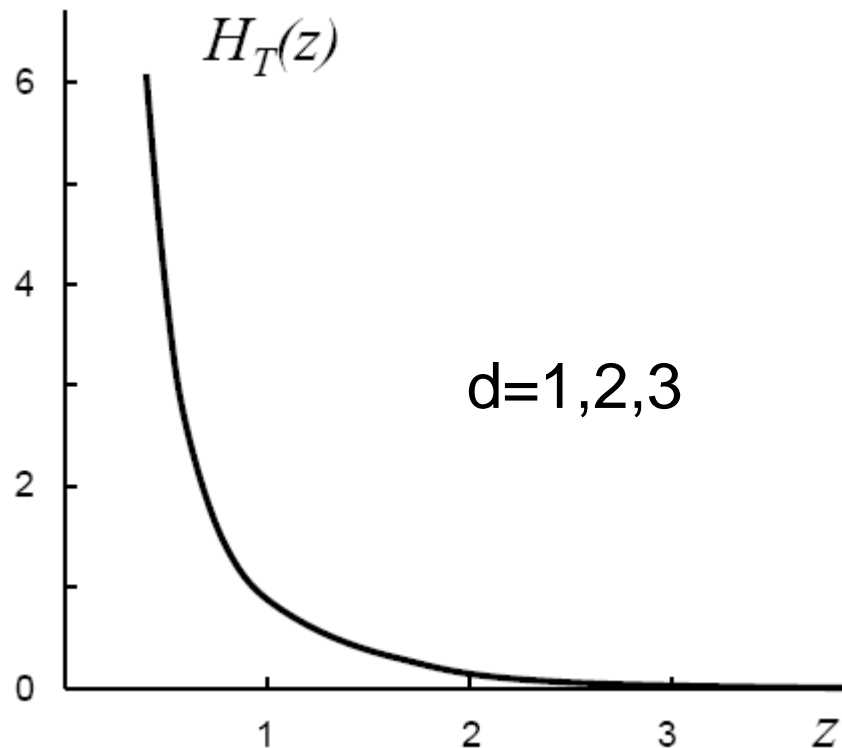
Результат можно записать в виде скейлингового соотношения:

$$g_L = H_T \left(\frac{L}{\xi_{0D}} \right)$$

где $H_T(z)$ соответствует определению по Таулесу:

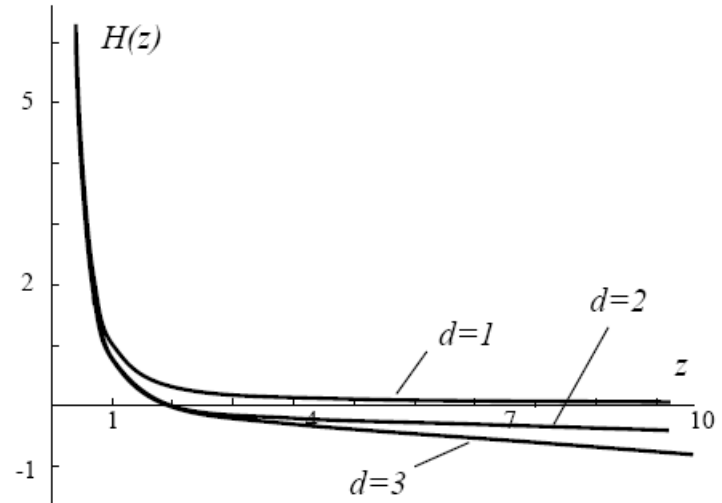
$$H_T(z) = \frac{1}{(2\pi)^2} \sum_{\mathbf{t}} \frac{(-1)^{2t_1}}{|\mathbf{t}|^2 + (z/2\pi)^2}$$

$$\mathbf{t} = \left(\frac{1}{2} s_1, s_2, \dots, s_d \right), \quad s_i = 0, \pm 1, \pm 2, \dots$$

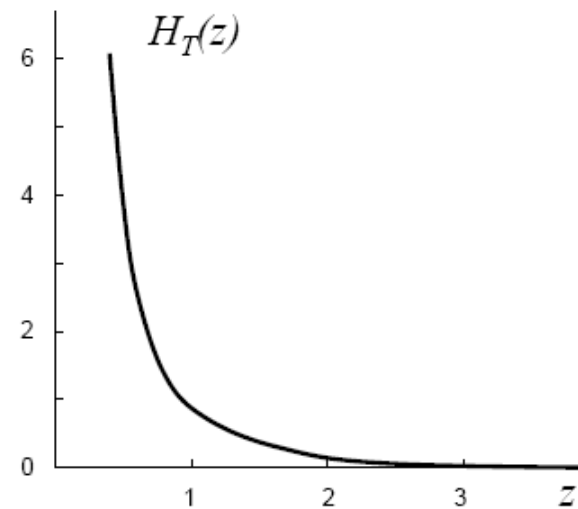


Скейлинговые уравнения

$$\pm c_d \left(\frac{L}{\xi} \right)^{d-2} = H \left(\frac{L}{\xi_{0D}} \right)$$



$$g_L = H_T \left(\frac{L}{\xi_{0D}} \right)$$



Проекция решения на подпространство 1

$$G_{nn'} = G_{nn'}^0 + G_{nn_0}^0 \frac{V^2 G_{m_0 m_0}^0}{1 - V^2 G_{m_0 m_0}^0 G_{n_0 n_0}^0} G_{n_0 n'}, \quad n, n' = 1, 2, \dots, N$$

и подпространство 2

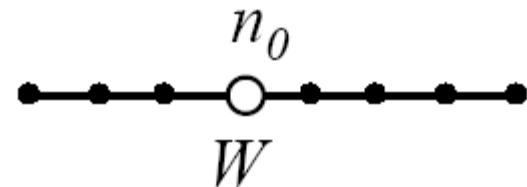
$$G_{mm'} = G_{mm'}^0 + G_{mm_0}^0 \frac{V^2 G_{n_0 n_0}^0}{1 - V^2 G_{m_0 m_0}^0 G_{n_0 n_0}^0} G_{m_0 m'}$$

Качественные следствия:

1. Эффективный рассеиватель

В подпространстве 1 можно пользоваться эффективным гамильтонианом возмущения

$$V_{nn'} = W \delta_{nn_0} \delta_{n'n_0}, \quad W = V^2 G_{m_0 m_0}^0$$



2. Затухание в конечной цепочке

Функция Грина нижней цепочки

$$G_{mm'}^0 = \sum_s \frac{e_s(m)e_s^*(m')}{E - \epsilon_s + i0}$$

в окрестности ϵ_s представляется одним членом. Подставляя его в

$$G_{mm'} = G_{mm'}^0 + G_{mm_0}^0 \frac{V^2 G_{n_0 n_0}^0}{1 - V^2 G_{m_0 m_0}^0 G_{n_0 n_0}^0} G_{m_0 m'}$$

получим

$$G_{mm'} = \frac{e_s(m)e_s^*(m')}{E - \epsilon_s - V^2 G_{n_0 n_0}^0 |e_s(m_0)|^2}, \quad E \approx \epsilon_s$$

где

$$G_{nn}^0 = \int \frac{dk}{2\pi} \frac{1}{E - \epsilon(k) + i0} \equiv I(E) - i\pi\nu(E)$$

Возникает эффективная функция Грина

$$\tilde{G}_{mm'} = \sum_s \frac{e_s(m)e_s^*(m')}{E - \tilde{\epsilon}_s + i\gamma_s}, \quad \gamma_s = \pi V^2 \nu(\epsilon_s) |e_s(m_0)|^2$$

3. Эффективная T-матрица

Комбинация

$$T = \frac{V^2 G_{m_0 m_0}^0}{1 - V^2 G_{m_0 m_0}^0 G_{n_0 n_0}^0}$$

есть фактически T-матрица рассеяния: ее подстановка в борновскую амплитуду дает точный результат.

Рассматривая ее в окрестности уровня ε_s , получим как и выше

$$T \approx V^2 \tilde{G}_{m_0 m_0}$$

тогда как в борновском приближении

$$T = V^2 G_{m_0 m_0}^0$$

Это дает простой способ перехода от борновского результата к точному.

Использование модели оболочек

Несколько связей между цепочками

Уравнение Дайсона

$$G_{nn'} = G_{nn'}^0 + \sum_i (G_{nn_i}^0 V G_{m_i n'} + G_{nm_i}^0 V G_{n_i n'})$$

Если n и n' лежат на верхней цепочке, то $G_{nm_i}^0 = 0$ и имеем упрощение

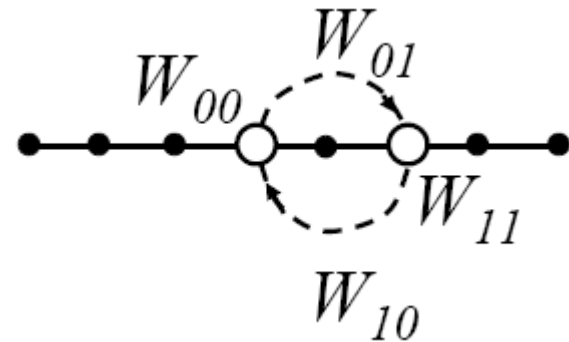
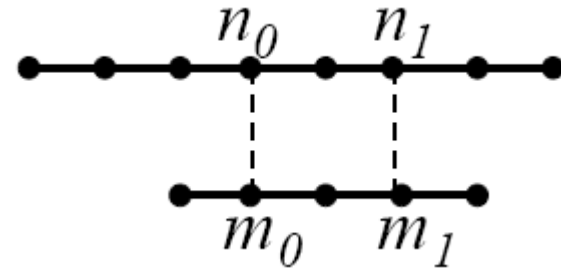
$$G_{nn'} = G_{nn'}^0 + \sum_i G_{nn_i}^0 V G_{m_i n'}$$

С другой стороны, полагая $n = m_i$

$$G_{m_i n'} = \sum_j G_{m_i m_j}^0 V G_{n_j n'}$$

откуда

$$G_{nn'} = G_{nn'}^0 + \sum_{ij} G_{nn_i}^0 \cdot V^2 G_{m_i m_j}^0 \cdot G_{n_j n'}$$



$$W_{ij} = V^2 G_{m_i m_j}^0$$

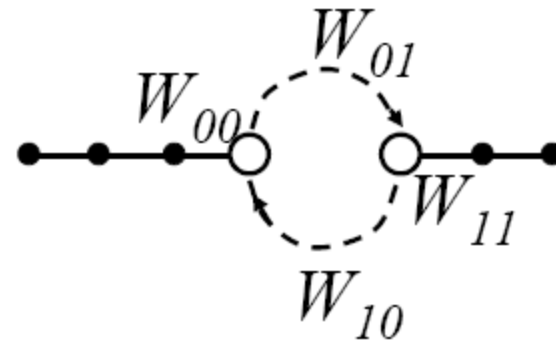
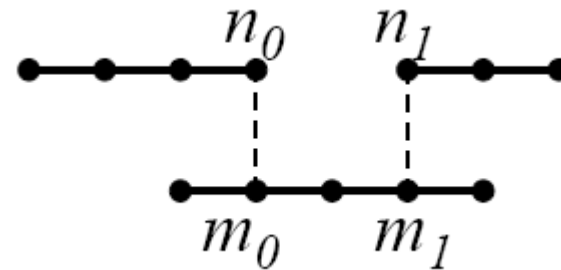
Использование модели оболочек

Разорванная верхняя цепочка

Формально все выражения сохраняются, но под $G_{nn'}^0$ нужно понимать функции Грина, учитывающие разрыв цепочки.

Для коэффицента прохождения

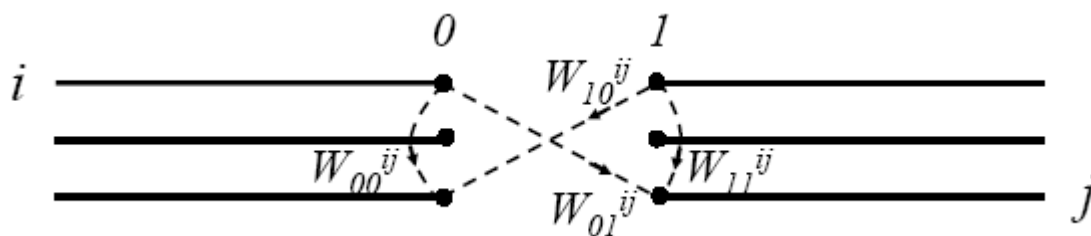
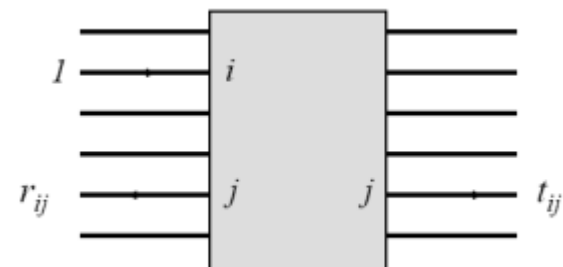
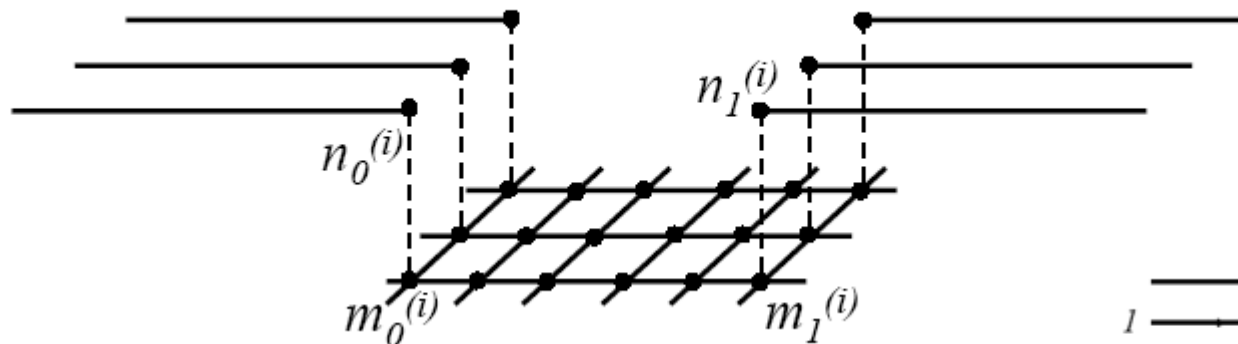
$$T \propto |W_{01}|^2$$



$$W_{ij} = V^2 G_{m_i m_j}^0$$

Использование модели оболочек

Многоканальный случай



$$t_{js} = -2ie^{2ik} \sin k \frac{W_{10}^{sj}}{J}$$

Используя формулу Эконому – Соуколиса

$$G_L = \frac{e^2}{2\pi\hbar} \sum_{ij} |t_{ij}|^2$$

имеем в борновском приближении

$$G_L = \frac{e^2}{2\pi\hbar} 4 \sin^2 k_F \frac{V^4}{J^2} \sum_{ij} \left| G_{m_0^{(i)} m_1^{(j)}}^0 \right|^2$$

Главное отличие точного результата – учет затухания

$$G_L = \frac{e^2}{2\pi\hbar} 4 \sin^2 k_F \frac{V^4}{J^2} \sum_{r_\perp, r'_\perp} \left| \tilde{G}(\mathbf{r}, \mathbf{r}') \right|_{|x'-x|=L}^2 \quad \gamma_s = \pi V^2 \nu_F \sum_i |e_s(m_i)|^2$$

Выражая через коррелятор плотности

$$G_L = \frac{e^2}{2\pi\hbar} 4 \sin^2 k_F \frac{V^4}{J^2} \sum_{r_\perp, r'_\perp} K(\mathbf{r}, \mathbf{r}') \Big|_{|x-x'|=L}$$

$$K(\mathbf{r}, \mathbf{r}') = \frac{1}{L^d} \sum_{\mathbf{q}} \frac{2\pi\nu_F e^{iq\cdot(\mathbf{r}-\mathbf{r}')}}{-i\omega + D(\omega, \mathbf{q})q^2}$$

T-матрица в многоканальном случае

Если $\Phi(r) = e^{ik \cdot r}$ - плоская волна, а $\Psi(r)$ - решение задачи рассеяния, то справедливо уравнение Липпмана – Швингера

$$|\Psi\rangle = |\Phi\rangle + G_0 V |\Psi\rangle$$

которое можно решать итерациями

$$|\Psi\rangle = \{1 + G_0 V + G_0 V G_0 V + G_0 V G_0 V G_0 V + \dots\} |\Phi\rangle$$

Полагая $G_0 = G_1 + G_2$ и учитывая, что V связывает только G_1 и G_2

$$|\Psi\rangle = \{1 + G_1 V G_2 V + G_1 V G_2 V G_1 V G_2 V + \dots\} |\Phi\rangle$$

где $|\Psi\rangle$ и $|\Phi\rangle$ лежат в подпространстве 1. Поскольку $|\Psi\rangle = S |\Phi\rangle$, то

$$S = 1 + G_1 V G_2 V \frac{1}{1 - G_1 V G_2 V}$$

Поскольку T-матрица вводится соотношением $V|\Psi\rangle = T|\Phi\rangle$,
 то $S = 1 + G_0T$, что в подпространстве 1 сводится к $S = 1 + G_1T$.
 Отсюда формально точный результат

$$T = VG_2V \frac{1}{1 - G_1VG_2V} = V \frac{1}{E - H_2 - VG_1V} V$$

Полюса T-матрицы определяются собственными значениями
 оператора $H_2 + VG_1V$, которые находятся по теории
 Возмущений

$$\lambda_s = \epsilon_s + \langle e_s | VG_1V | e_s \rangle$$

Подстановка матричных элементов V дает

$$\lambda_s = \tilde{\epsilon}_s - i\gamma_s, \quad \gamma_s = \pi V^2 \nu_F \sum_i |e_s(m_i)|^2$$

Определение проводимости конечной системы

Опуская несущественные множители

$$g_L = \frac{V^4}{J^4} \frac{J}{D_L} \sum_{r_\perp, r'_\perp} K(\mathbf{r}, \mathbf{r}')|_{|x-x'|=L}$$

$$K(\mathbf{r}, \mathbf{r}') = \frac{1}{L^d} \sum_{\mathbf{q}} \frac{e^{i\mathbf{q}\cdot(\mathbf{r}-\mathbf{r}')}}{m^2 + q^2}$$

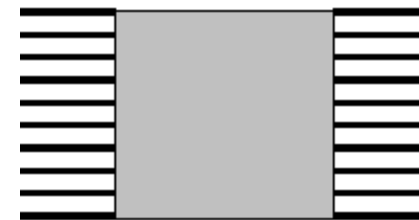
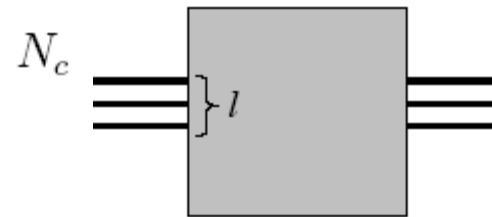
Для «тонких» контактов

$$g_L = \frac{V^4}{J^4} N_c^2 \frac{J}{D_L} K(x, x')|_{|x-x'|=L}$$

$$\gamma \sim V^2 \nu_F N_c L^{-d} \sim \frac{V^2}{J^2} N_c \Delta$$

Эффективная прозрачность границы

$$k_b = \frac{V^2}{J^2} N_c$$



$$l \ll \sqrt{L\xi}$$

$$g_L = \frac{V^4}{J^4} N_c^2 \frac{J}{D_L} K(x, x')|_{|x-x'|=L}$$

$$\gamma \sim V^2 \nu_F N_c L^{-d} \sim \frac{V^2}{J^2} N_c \Delta$$

$$k_b = \frac{V^2}{J^2} N_c$$

Замечая, что

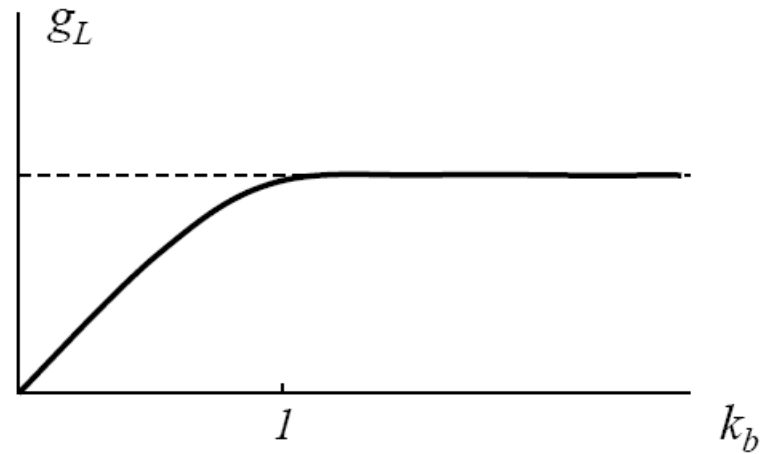
$$g_L \propto \frac{k_b^2}{D_L} \propto k_b$$

и оценивая коэффициент из условия

$$D_L \sim JL^{2-d} \quad \text{при} \quad k_b \sim 1$$

имеем

$$g_L = k_b L^{d-2} K(x, x')|_{|x-x'|=L}$$

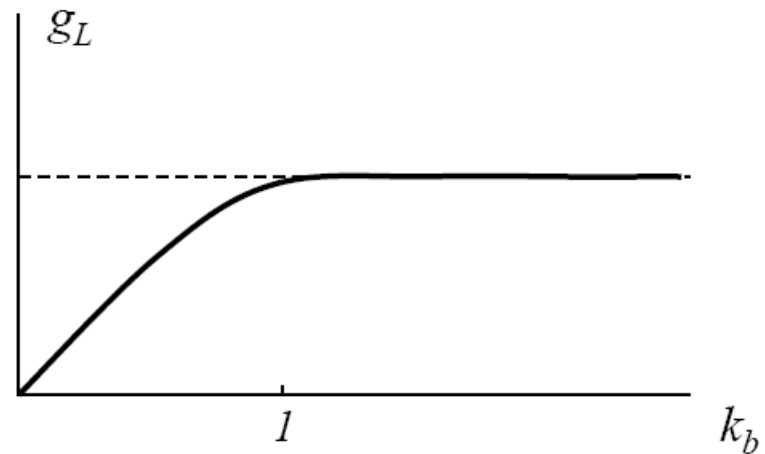


Определение проводимости конечной системы

После некоторых преобразований:

$$g_L = k_b L^{d-2} K(x, x')|_{|x-x'|=L}$$

Предельно открытой системе соответствует плато при $k_b \gtrsim 1$.



Вместо того, чтобы полагать $k_b \sim 1$, можно взять производную

$$g_L^{open} = \left. \frac{dg_L(k_b)}{dk_b} \right|_{k_b=0} = L^{d-2} K(x, x')|_{|x-x'|=L}$$

что определяет проводимость предельно открытой системы в терминах почти закрытых систем

Определение проводимости конечной системы

$$g_L^{open} = \left. \frac{dg_L(k_b)}{dk_b} \right|_{k_b=0} = L^{d-2} K(x, x') \Big|_{|x-x'|=L}$$

Преимущества такого определения:

- (а) Оно заведомо характеризует внутренние свойства системы;
- (б) Решается вопрос о контактном сопротивлении резервуара;
- (в) Кондактанс идеальной системы является бесконечным

$$K(\mathbf{r}, \mathbf{r}') = \frac{1}{L^d} \sum_{\mathbf{q}} \frac{e^{i\mathbf{q} \cdot (\mathbf{r} - \mathbf{r}')}}{m^2 + q^2} \quad m^{-1} = \xi_{0D}$$

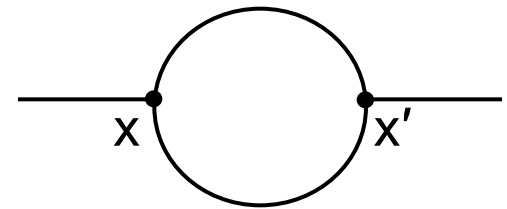
(расходимость при $m \rightarrow 0$ связана с существованием разрешенного значения $q=0$)

Эквивалентность с определением по Таулесу

$$g_L^{open} = \left. \frac{dg_L(k_b)}{dk_b} \right|_{k_b=0} = L^{d-2} K(x, x')|_{|x-x'|=L} \quad K(\mathbf{r}, \mathbf{r}') = \frac{1}{L^d} \sum_{\mathbf{q}} \frac{e^{i\mathbf{q} \cdot (\mathbf{r}-\mathbf{r}')}}{m^2 + q^2}$$

(a) Периодические граничные условия

Поперечный размер системы L ,
продольный $2L$, $|x-x'|=L$.



$$K(x, x') = \left. \frac{1}{2L} \sum_s \frac{e^{iq_s L}}{q_s^2 + m^2} \right|_{q_s = \frac{2\pi s}{2L}} = \left. \frac{1}{2L} \sum_s \frac{(-1)^s}{q_s^2 + m^2} \right|_{q_s = \frac{2\pi s}{2L}}$$

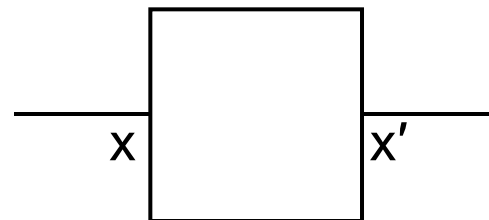
Разделяя четные и нечетные s

$$K(x, x') = \frac{1}{2L} \left(\sum_s \frac{1}{q_s^2 + m^2} \Big|_{q_s = \frac{2\pi s}{L}} - \sum_s \frac{1}{q_s^2 + m^2} \Big|_{q_s = \frac{2\pi s + \pi}{L}} \right)$$

Для блоховских условий $q_s = (2\pi s + \varphi)/L$, т.е. имеем разность двух членов с $\varphi=0$ и $\varphi=\pi$.

(б) Реалистические граничные условия

$$f'_x(0) = \kappa f(0), \quad f'_x(L) = -\kappa f(L)$$



Выражение для ядра

$$K(x, x') = \sum_{s=1}^{\infty} A_s^2 \frac{\sin(q_s x + \psi_s) \sin(q_s x' + \psi_s)}{q_s^2 + m^2},$$

$$A_s^2 = \frac{2}{L + 2\kappa/(q_s^2 + \kappa^2)}, \quad \psi_s = \arctan(q_s/\kappa),$$

$$q_s L + 2 \arctan(q_s/\kappa) = \pi s, \quad s = 1, 2, 3, \dots$$

Для закрытой системы ($\kappa=0$) имеем

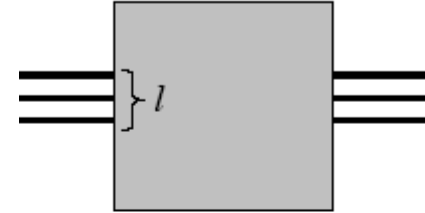
$$K(0, L) = \frac{1}{L} \sum_{s=-\infty}^{\infty} \frac{\cos(q_s L)}{q_s^2 + m^2} \Big|_{q_s = \frac{\pi s}{L}}$$

с тем же результатом.

«Массивные» контакты

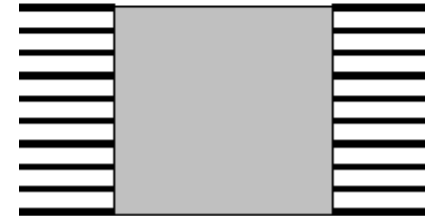
Если для тонких контактов

$$g_L^{open} = L^{d-2} K(x, x')|_{|x-x'|=L}$$



то для массивных

$$g_L^{open} = L^{d-2} \frac{1}{N_c^2} \sum_{r_{\perp}, r'_{\perp}} K(\mathbf{r}, \mathbf{r}')|_{|x-x'|=L}$$



Суммирование по r_{\perp}, r'_{\perp} устраняет поперечные компоненты q в сумме

$$K(\mathbf{r}, \mathbf{r}') = \frac{1}{L^d} \sum_{\mathbf{q}} \frac{e^{i\mathbf{q} \cdot (\mathbf{r} - \mathbf{r}')}}{m^2 + q^2}$$

что делает задачу эффективно одномерной.

В зависимости от геометрии контактов имеем определения по Таулесу разной размерности.

Скейлинговое соотношение для g_L

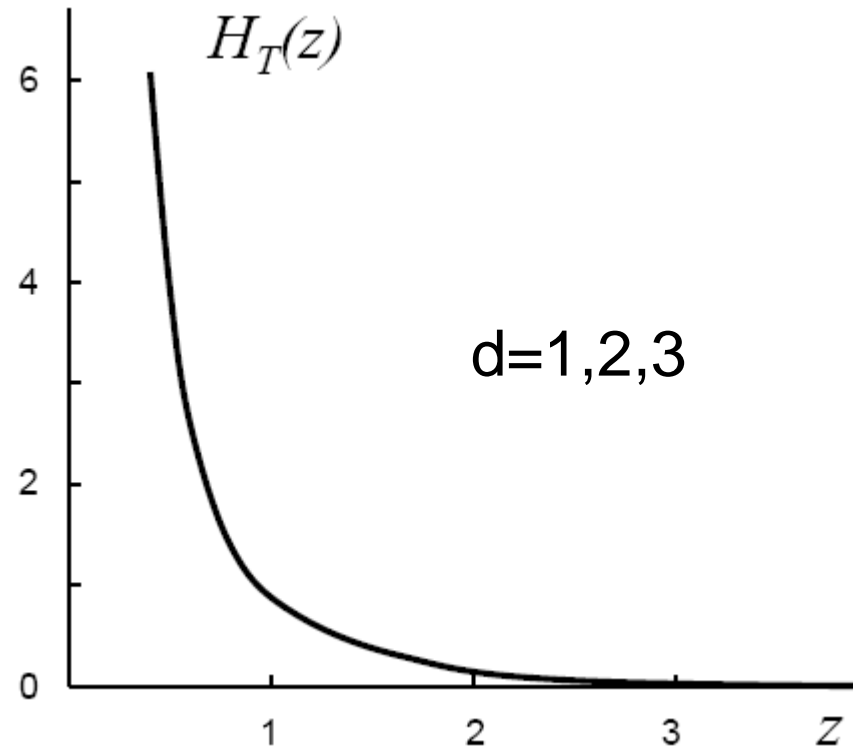
Результат рассмотрения:

$$g_L = H_T \left(\frac{L}{\xi_{0D}} \right)$$

где $H_T(z)$ соответствует d -мерному определению по Таулесу:

$$H_T(z) = \frac{1}{(2\pi)^2} \sum_{\mathbf{t}} \frac{(-1)^{2t_1}}{|\mathbf{t}|^2 + (z/2\pi)^2}$$

$$\mathbf{t} = \left(\frac{1}{2} s_1, s_2, \dots, s_d \right), \quad s_i = 0, \pm 1, \pm 2, \dots$$

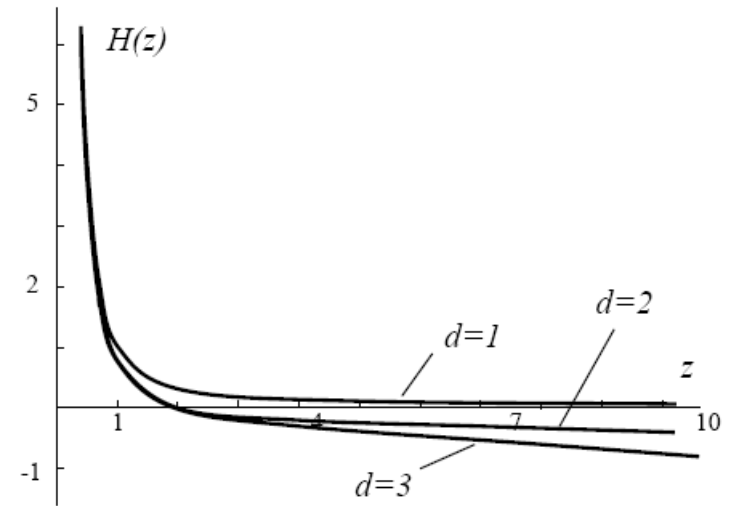


Скейлинговые уравнения

Зависимость g_L от L/ξ дается в параметрической форме:

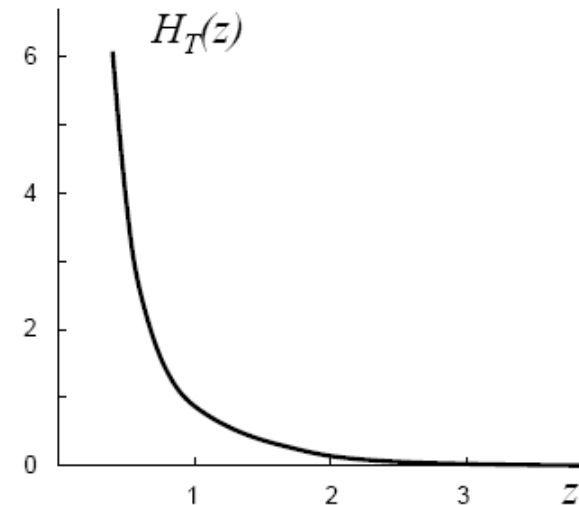
$d \neq 2$

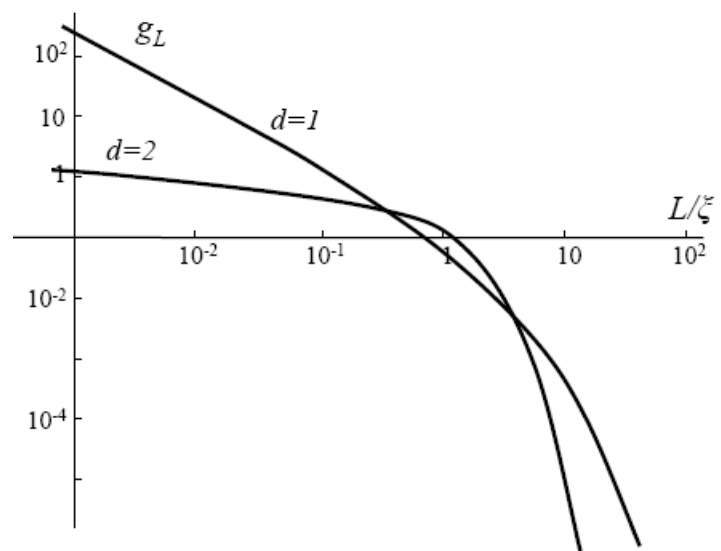
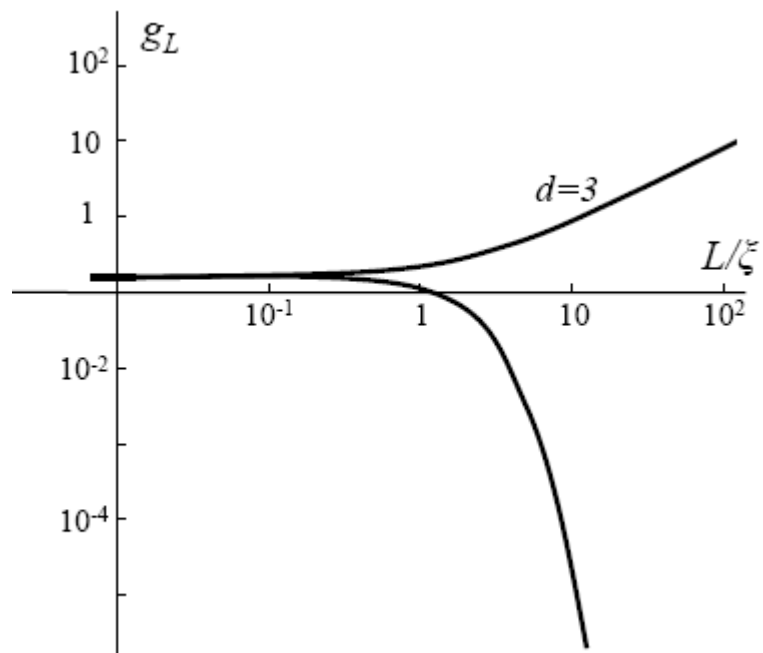
$$\pm c_d \left(\frac{L}{\xi} \right)^{d-2} = H(z), \quad g_L = H_T(z)$$



$d=2$

$$\frac{1}{2\pi} \ln \left(\frac{\xi}{L} \right) = H(z), \quad g_L = H_T(z)$$



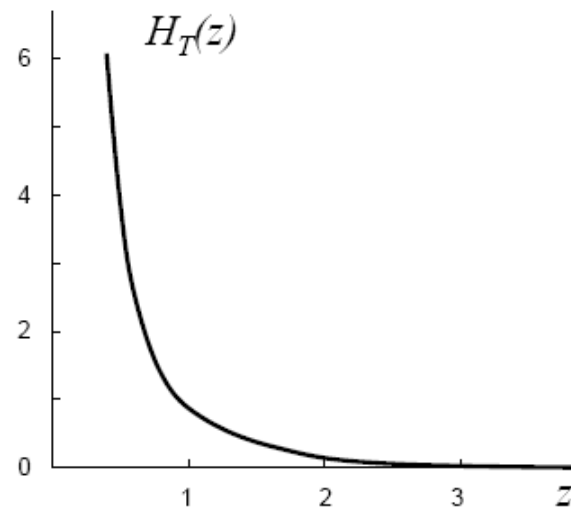
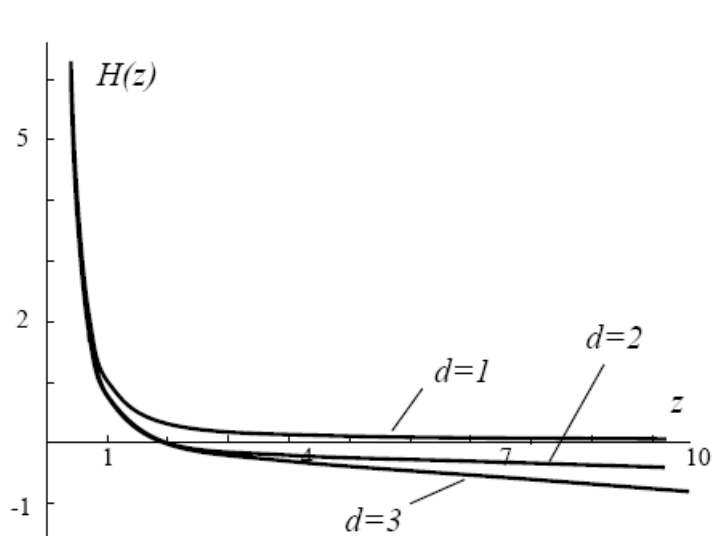


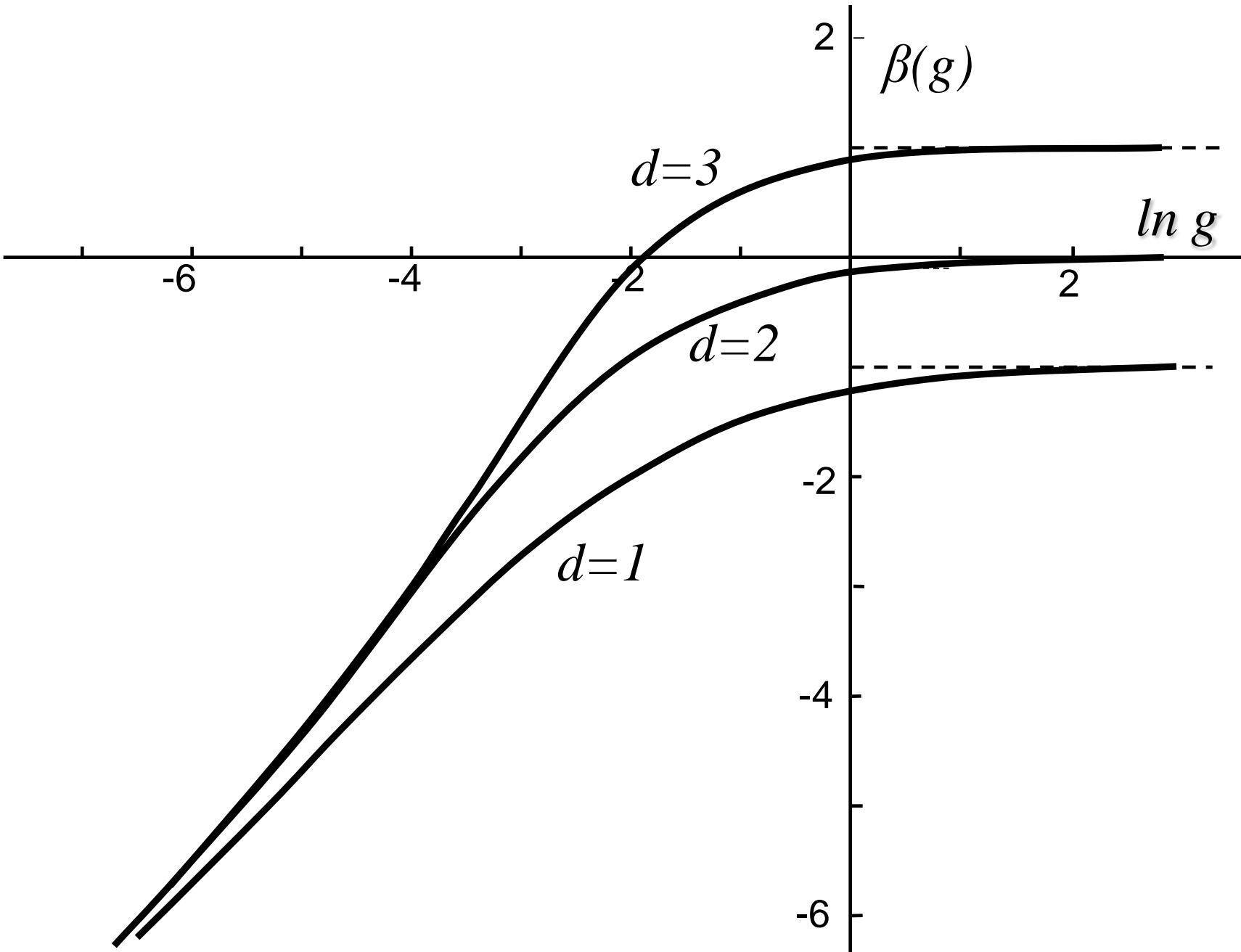
Для β -функции, определяемой производной $d \ln g / d \ln L$,
имеем для $d \neq 2$

$$g = H_T(z), \quad \beta(g) = (d - 2) \frac{H(z) H'_T(z)}{H_T(z) H'(z)}$$

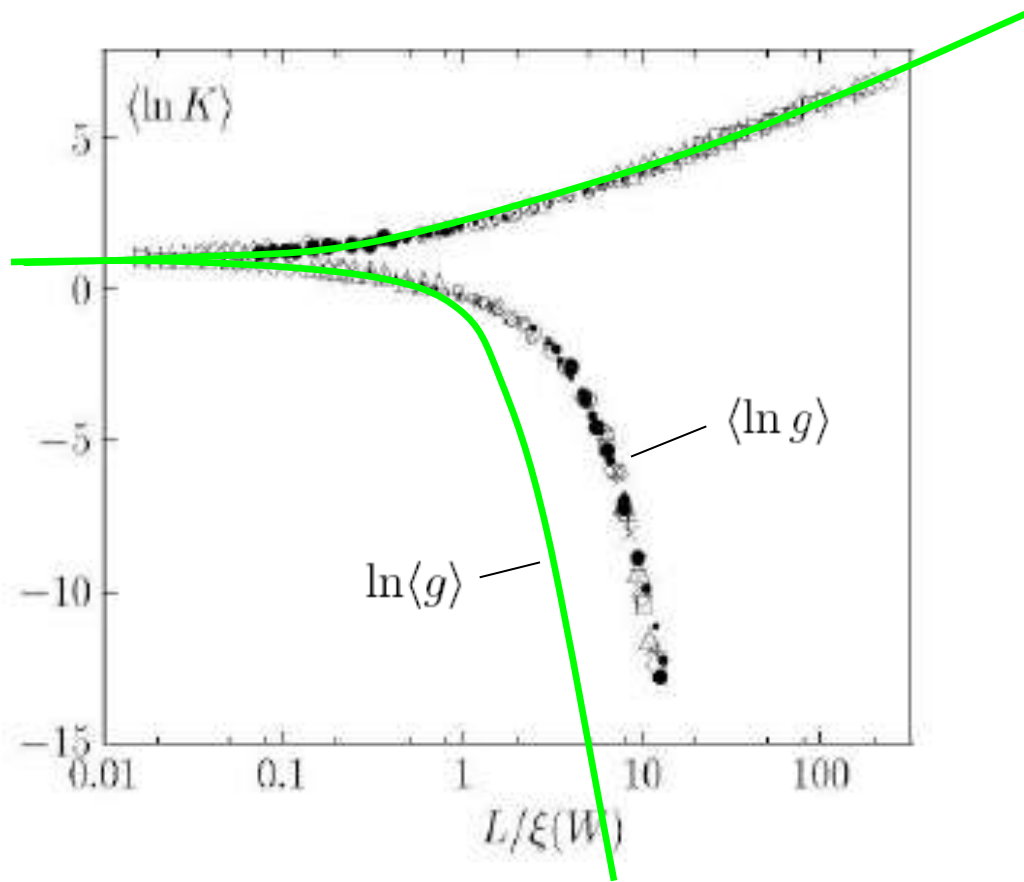
и для $d=2$

$$g = H_T(z), \quad g\beta(g) = -\frac{1}{2\pi} \frac{H'_T(z)}{H'(z)}$$





$d=3$



Оценка g_L через «ускорение» уровней

$$K_s = \frac{d^2 E_s}{d\varphi^2}$$

$$\psi(L) = \psi(0) \exp\{i\varphi\}$$

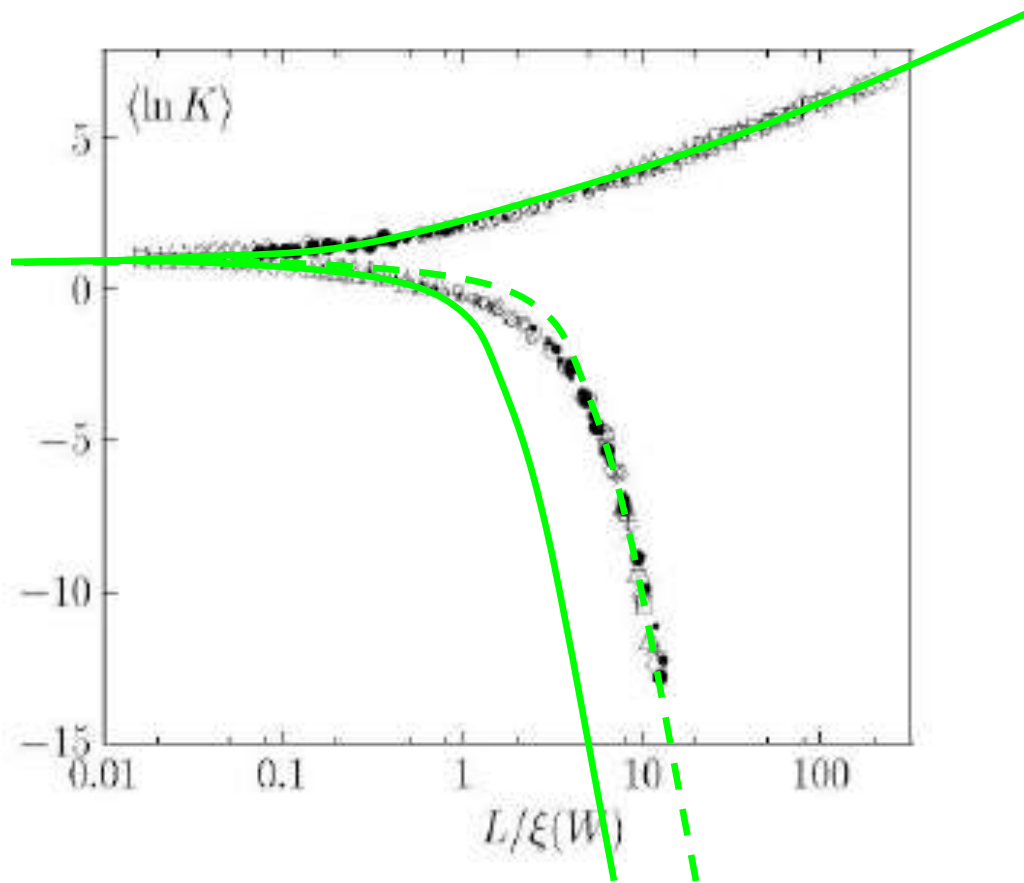
В одномерном случае

$$\langle g \rangle = \frac{\pi}{2} (\alpha L / \pi)^{-3/2} e^{-\alpha L / 4}$$

$$\exp \langle \ln g \rangle = 4 e^{-\alpha L}$$

$$\langle 1/g \rangle = \frac{1}{2} e^{2\alpha L}$$

$d=3$

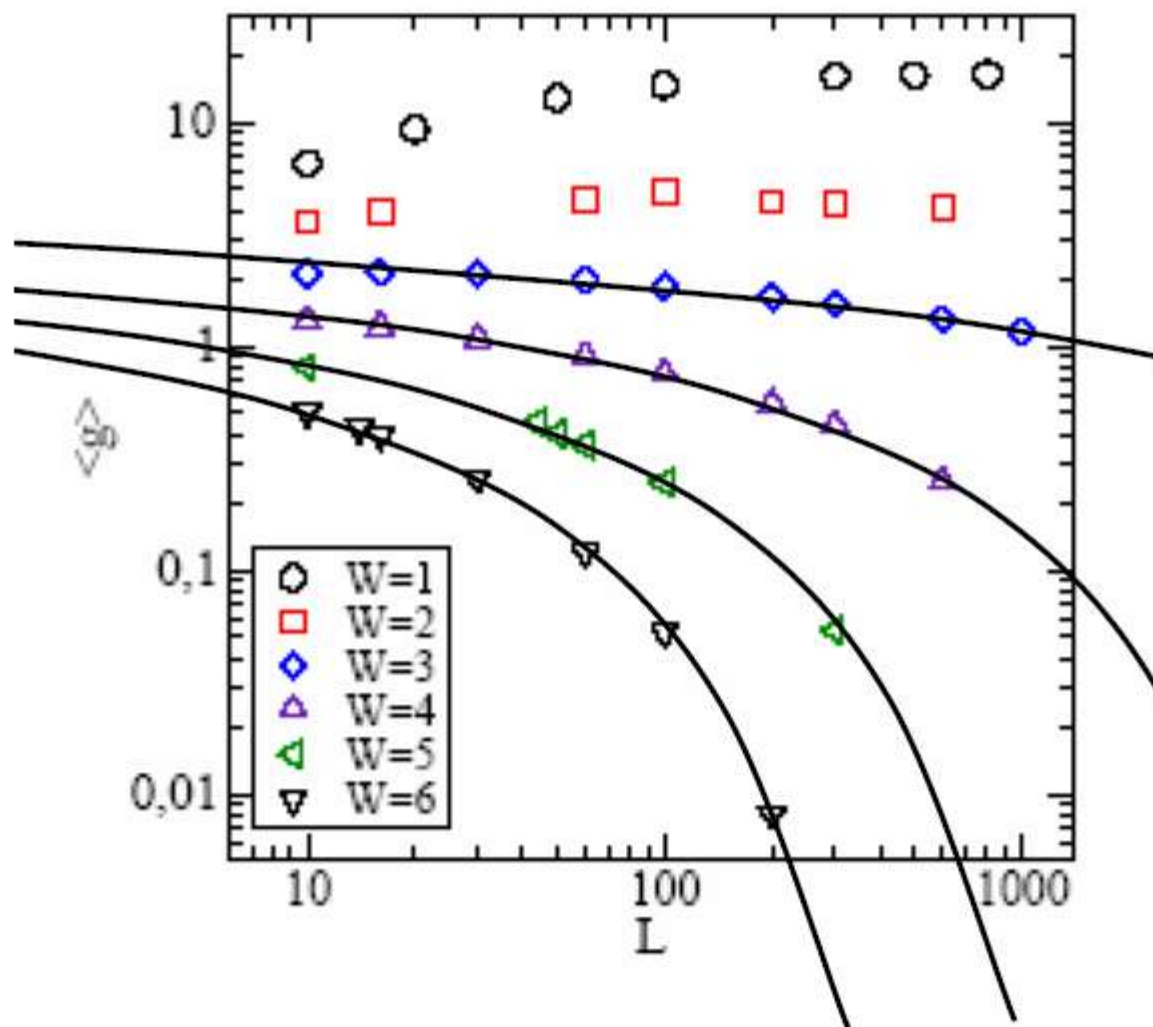


Оценка g_L через «ускорение» уровней

$$K_s = \frac{d^2 E_s}{d\varphi^2}$$

$$\psi(L) = \psi(0) \exp\{i\varphi\}$$

$d=2$



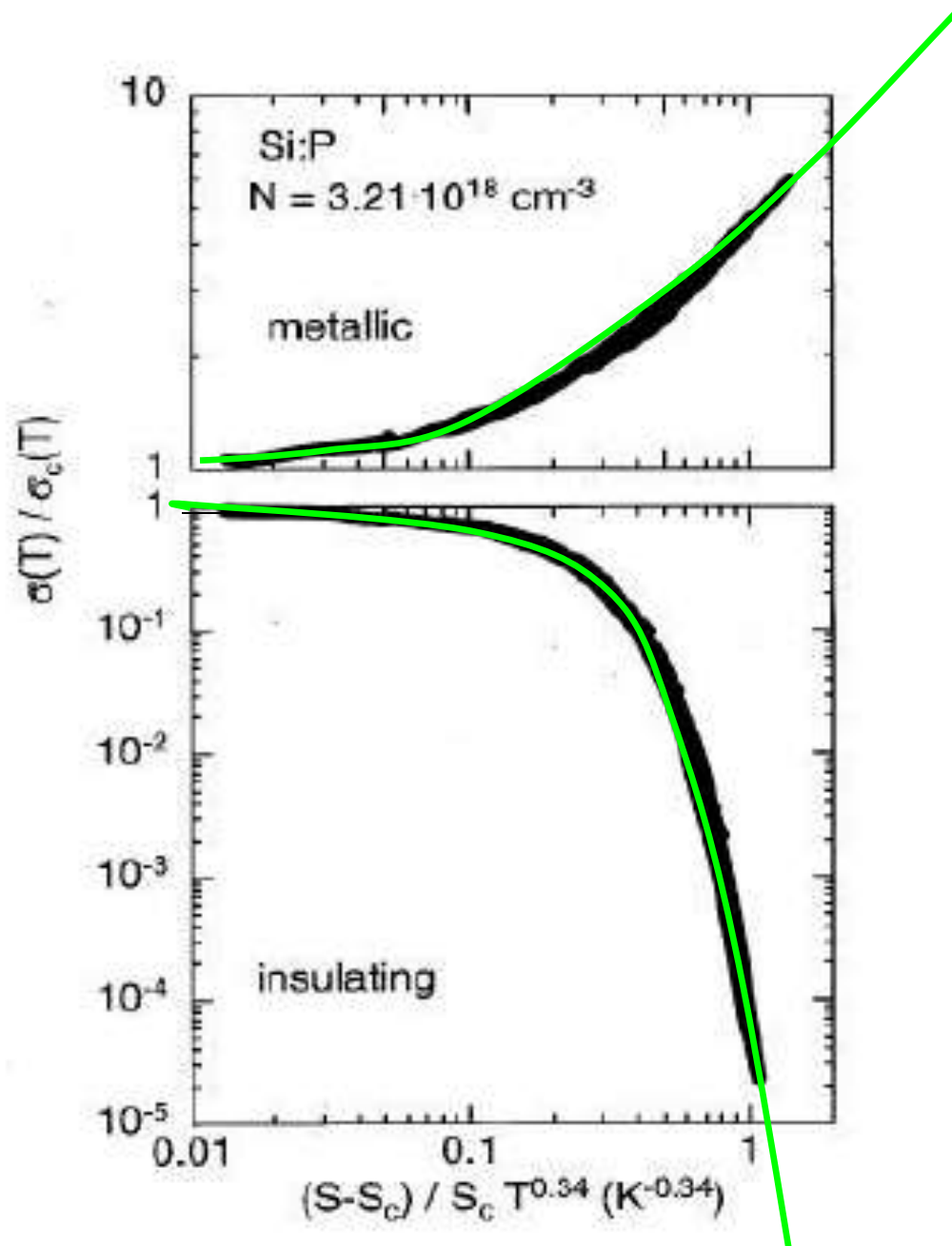
S. Waffenschmidt,
 C. Pfeleiderer,
 H. V. Loehneysen,
 Phys. Rev. Lett.
 83, 3005 (1999).

$$L \rightarrow L_{in} \propto T^{-\gamma}$$

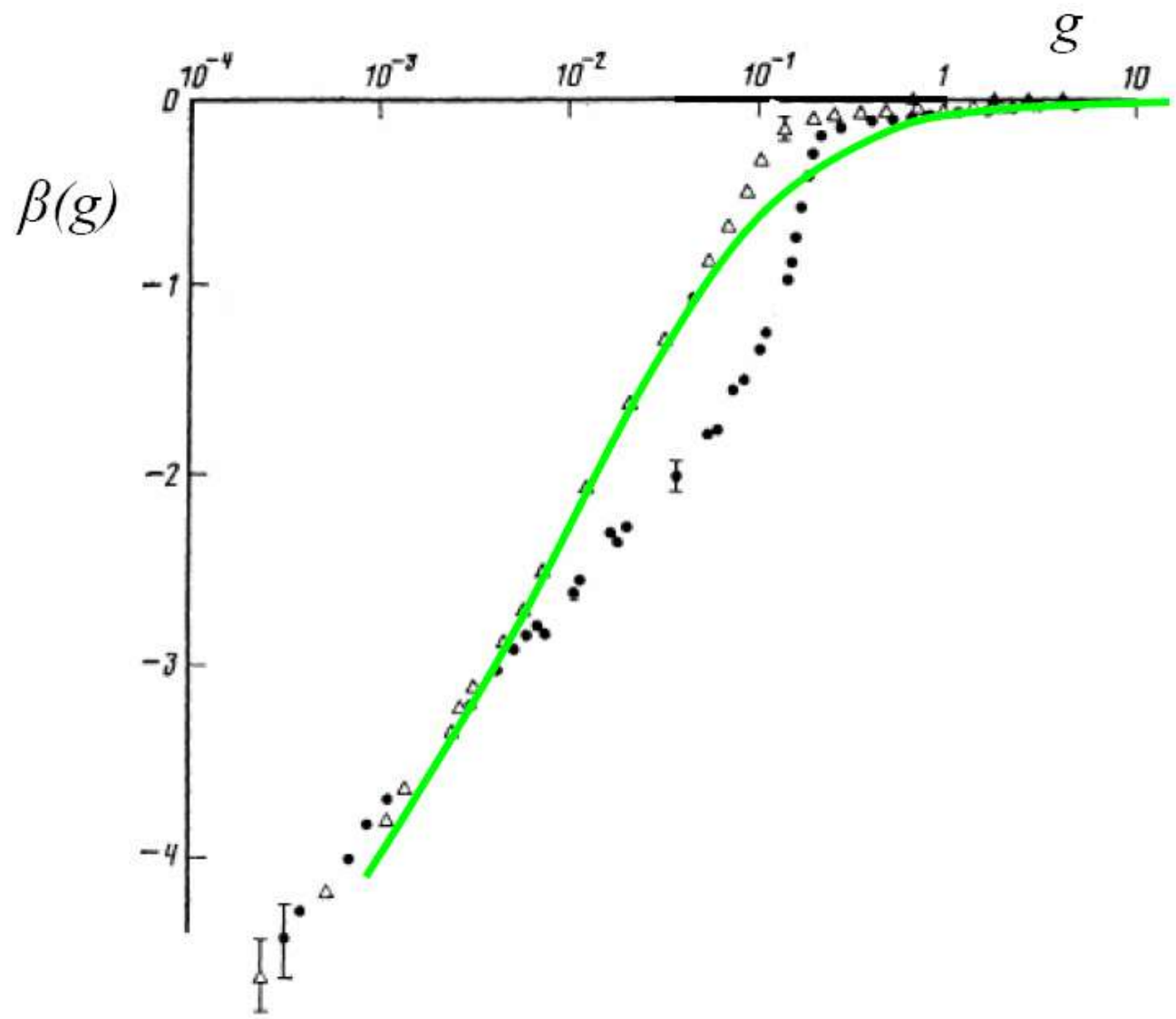
Критическое
 поведение

$$s = 1.0 \pm 0.1$$

$$z = 2.94 \pm 0.3$$



Э. И. Заварицкая, ЖЭТФ 93, 952 (1987).



Сравнение с теорией возмущений

Разложение функций $H(z)$ и $H_T(z)$

$$H(z) = 1/z^2 + a_0 - a_2 z^2 + a_4 z^4 - a_6 z^6 + \dots$$

$$H_T(z) = 1/z^2 + \tilde{a}_0 - \tilde{a}_2 z^2 + \tilde{a}_4 z^4 - \tilde{a}_6 z^6 + \dots$$

где

$$a_{2n} = \sum_{\mathbf{s} \neq 0} \frac{1}{(2\pi|\mathbf{s}|)^{2n+2}}, \quad \tilde{a}_{2n} = \sum_{\mathbf{t} \neq 0} \frac{(-1)^{2t_1}}{(2\pi|\mathbf{t}|)^{2n+2}}$$

$$\mathbf{s} = (s_1, s_2, \dots, s_d), \quad \mathbf{t} = (\frac{1}{2} s_1, s_2, \dots, s_d), \quad s_i = 0, \pm 1, \pm 2, \dots$$

Откуда для β -функций

$$\beta(g) = (d-2) + \frac{a_0 - \tilde{a}_0}{g} + \dots, \quad d \neq 2$$

$$\beta(g) = -\frac{1}{2\pi g} + \frac{a_2 - \tilde{a}_2}{2\pi g^3} + \dots, \quad d = 2.$$

Разложение из σ -моделей для $d=2$

$$\tilde{\beta}(t) = -\frac{dt}{d \ln L} = -2t^2 + 0 \cdot t^3 + 0 \cdot t^4 - 12\zeta(3)t^5 + (27/2)\zeta(4)t^6 + \dots$$

где $t \sim 1/g$. Пересчитывая к той же форме наш результат

$$\tilde{\beta}(t) = -2t^2 + 0 \cdot t^3 + 32\pi^4(a_2 - \tilde{a}_2)t^4 + \dots$$

видим, что коэффициент при t^4 зависит от деталей определения g_L , т.е. ренормировочной схемы.

Замена переменных

$$\tilde{t} = f(t)$$

позволяет привести два результата к одинаковому виду.

Переход к размерности $d=2+\epsilon$ производится в схеме размерной регуляризации

$$\beta_{2+\epsilon}(g) = \epsilon + \beta_2(g)$$

$$\nu = 1/\epsilon - (9/4)\zeta(3)\epsilon^2 + \dots$$

Точный результат $\nu = 1/\epsilon$ возможен только для тривиальной функции $\beta_2(g) = A/g$.

Если теория Вольхардта – Вольфле является точной, то формализм размерной регуляризации несовместим с физической сутью проблемы.

Подтверждающие аргументы:

F. Wegner, Z. Phys. B **78**, 33 (1990).

P. K. Mitter, H. R. Ramadas, Commun. Math. Phys. **122**, 575 (1989).

О наблюдении закона Березинского

Локализационный закон для проводимости

$$\sigma(\omega) \propto -i\omega, \quad \omega \rightarrow 0$$

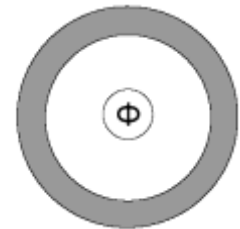
получен теоретически почти 40 лет назад:

В. Л. Березинский, ЖЭТФ 65, 1251 (1973).

но никогда не наблюдался экспериментально.

Его наблюдение возможно в закрытых системах примерно при тех же условиях, что наблюдение незатухающего тока в геометрии Ааронова-Бома:

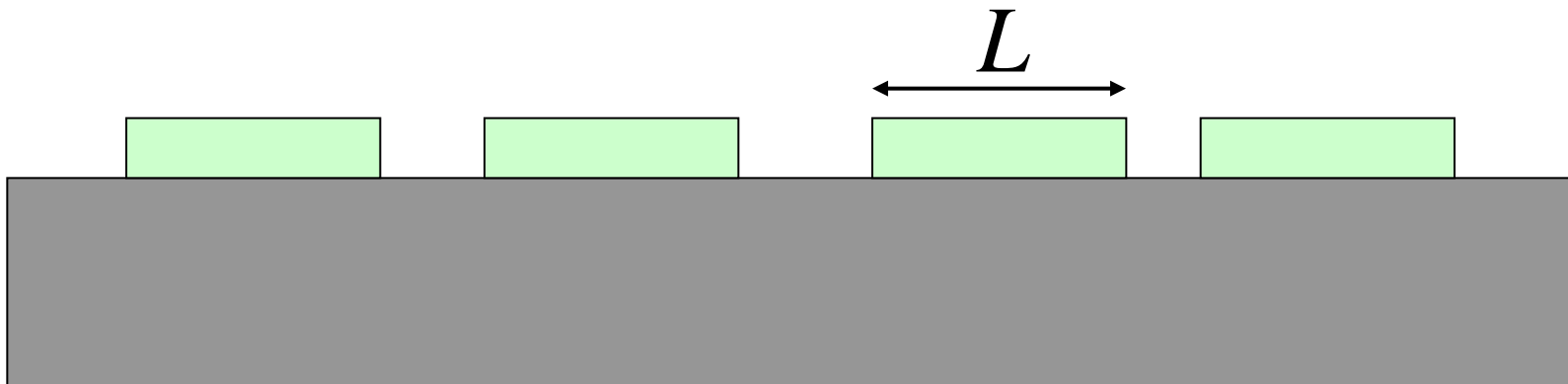
$$L \sim 1\mu m, \quad T \sim 100mK$$



L. P. Levy, G. Dolan, J. Dunsmuir, H. Bouchiat, Phys. Rev. Lett. 64, 2074 (1990).

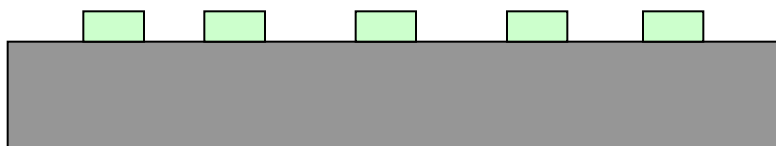
H. Bluhm, N. Koshnick, J. Bert, et al, Phys. Rev. Lett. 102, 136802 (2009).

A. C. Bleszynski-Jayich, W. E. Shanks, B. Peaudecerf, et al, Science 326, 272 (2009).

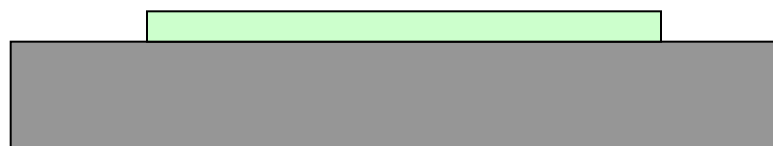


$$\varepsilon(\omega, q) = 1 + \frac{4\pi v_F D(\omega, q)}{-i\omega + D(\omega, q)q^2}$$

$$D(\omega, q) \propto -i\omega \quad \rightarrow \quad \varepsilon(\omega, q) \in \text{Re}$$



$$L < L_{in}$$



$$L > L_{in}$$